

11. Cometas e Visitantes Interestelares



AGA0502, Planetas e Sistemas Planetários

Prof. Jorge Meléndez, IAG-USP



Adoração dos Magos do pintor florentino **Giotto di Bondone** (1267–1337). A Estrela de Belém está caracterizada como um **cometa** acima da criança. Giotto testemunhou a passagem do **cometa Halley** em 1301.

https://pt.wikipedia.org/wiki/Estrela_de_Bel%C3%A9m

Inca Atahualpa

“Cuando Atahualpa fue capturado ... cristianos ... vieron en el cielo del norte, bajo, una marca verde, gruesa como un brazo, y largo como la lanza del jinete; y cuando los españoles lo vieron, y Atahualpa se enteró, se dice que pidió que lo sacaran afuera, para que él pudiera verlo, y cuando lo vio, se entristeció y permaneció así.

Día siguiente; cuando el gobernador don Francisco Pizarro le preguntó, por qué estaba tan triste, respondió: "Vi una señal en el cielo y le diré, cuando mi padre, Huayna Capac, murió, vieron una marca similar a esa". “

Diego Cieza de León [1553]

Atahualpa foi executado 15 dias depois.



Asteroides são principalmente rochosos-gelados, pois a origem é dentro (ou próxima) da linha de gelo. Já os cometas são gelados, pois se formaram além da linha de gelo.

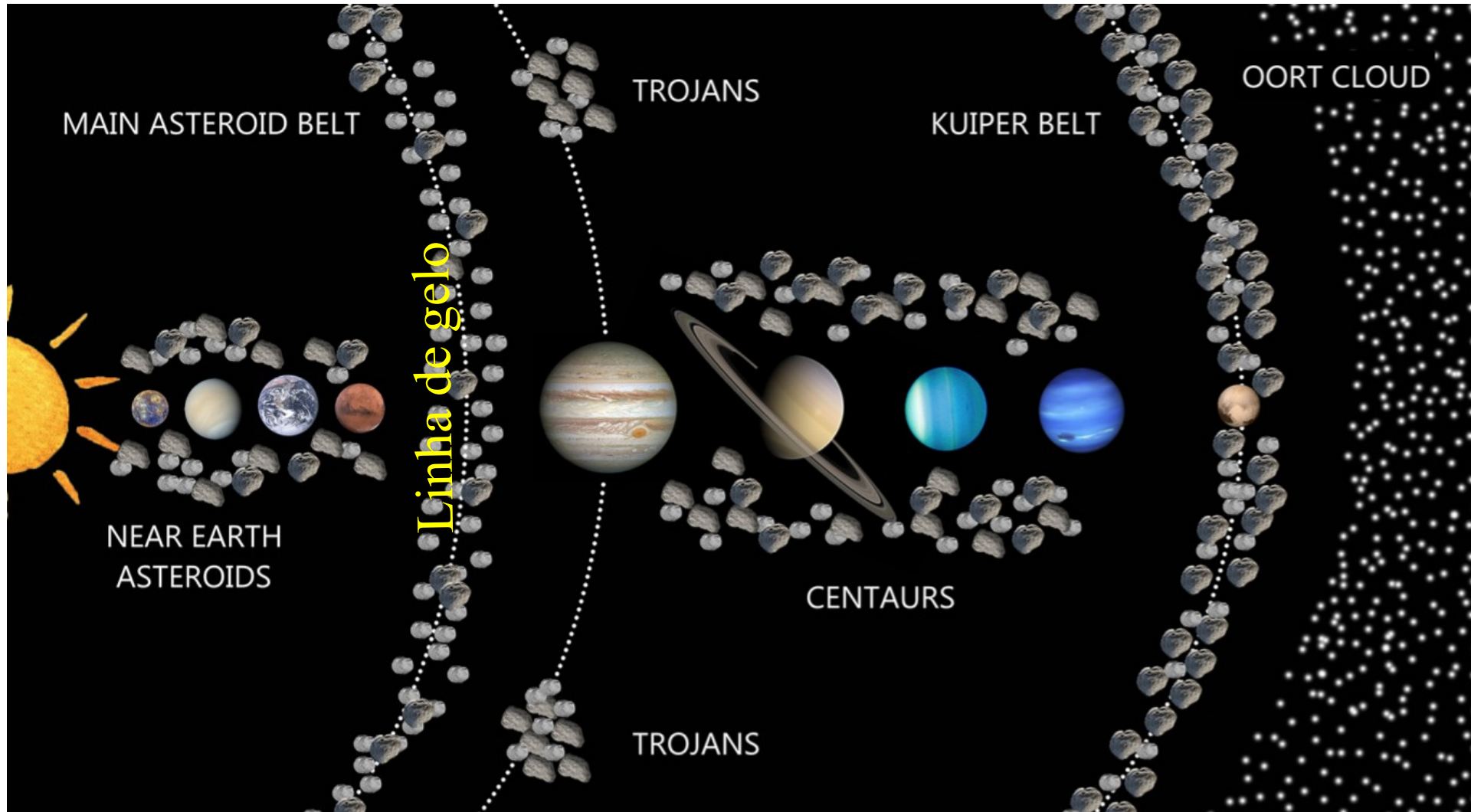


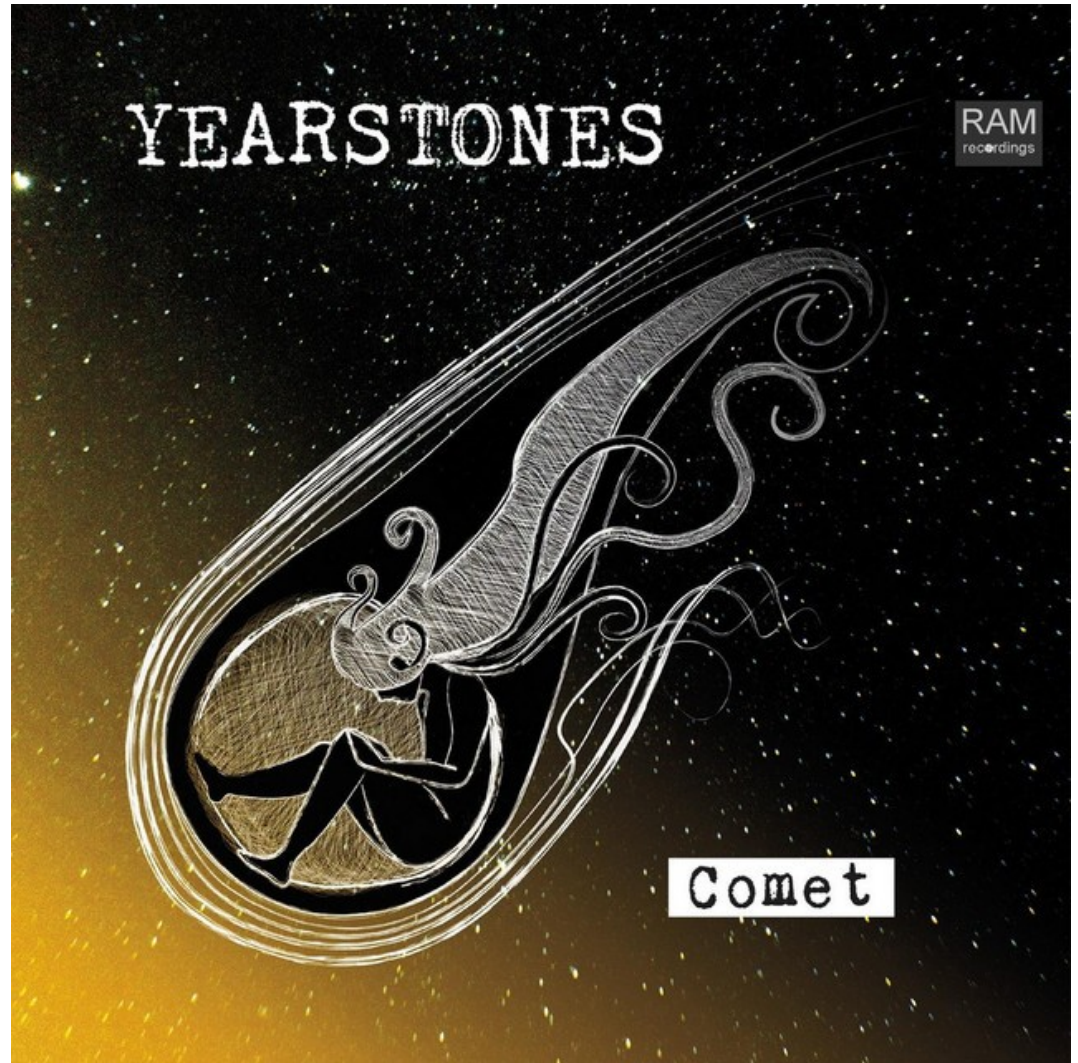
Figure 1.1: Schematic view of the Solar System. Image created by K. Frantseva.

Etimologia ✨

Cometa

Latim comēta ou
comētēs

Grego κομήτης :
'estrela' de cabelo
comprido



Designação dos cometas

Prefixo para indicar o tipo de cometa:

P/ para cometa periódico ($P < 200$ anos, ou mais de 1 observação pelo periélio). **Exemplo: P/1996 A1**

C/ para cometa não periódico. **Exemplo: C/1995 Q2**

X/ para cometa ainda sem órbita calculada

D/ para um cometa extinto ou desaparecido

I/ para objetos interestelares (cometas ou asteroides)

Exemplo: **I/2017 U1**

Após o prefixo, é indicado:

- o ano da descoberta
- letra maiúscula com a quinzena de observação: 24 possíveis letras, de A a H e de J a Y (I e Z são excluídas)
- número com a ordem de descoberta na quinzena

Exemplo: P/1996 A1

Cometa periódico descoberto no ano 1996. A = 1^a quinzena.
1 = Primeiro cometa descoberto nessa quinzena

Exemplo: C/1995 D2

Cometa não periódico descoberto no ano 1995. D = 4^a quinzena.
2 = segundo cometa descoberto nessa quinzena

Entre parênteses é incluído o nome de até 3 descobridores, projeto ou instrumento

Exemplo: P/1996 A1 (Jedicke)

P/1996: cometa periódico descoberto no ano de 1996

A1: 1ª quinzena de 1996 e o 1º descoberto nessa quinzena

Jedicke: foi descoberto pelo astrônomo Robert Jedicke

Entre parênteses é incluído o nome de até 3 descobridores, projeto ou instrumento

Exemplo: P/1996 A1 (Jedicke)

P/1996: cometa periódico descoberto no ano de 1996

A1: 1ª quinzena de 1996 e o 1º descoberto nessa quinzena

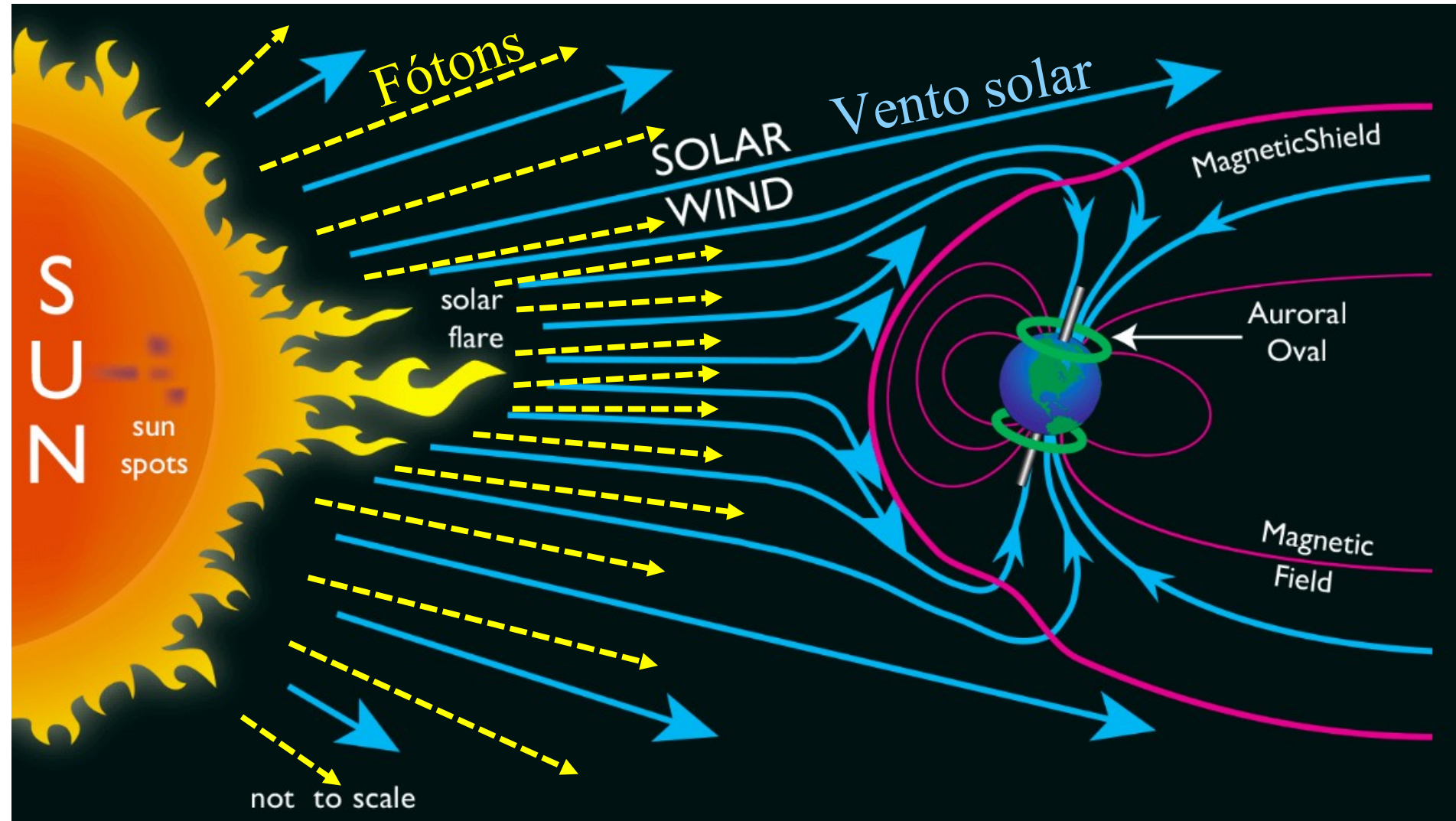
Jedicke: foi descoberto pelo astrônomo Robert Jedicke

Após a 2ª passagem observada no periélio, os cometas periódicos recebem um prefixo com a ordem da descoberta

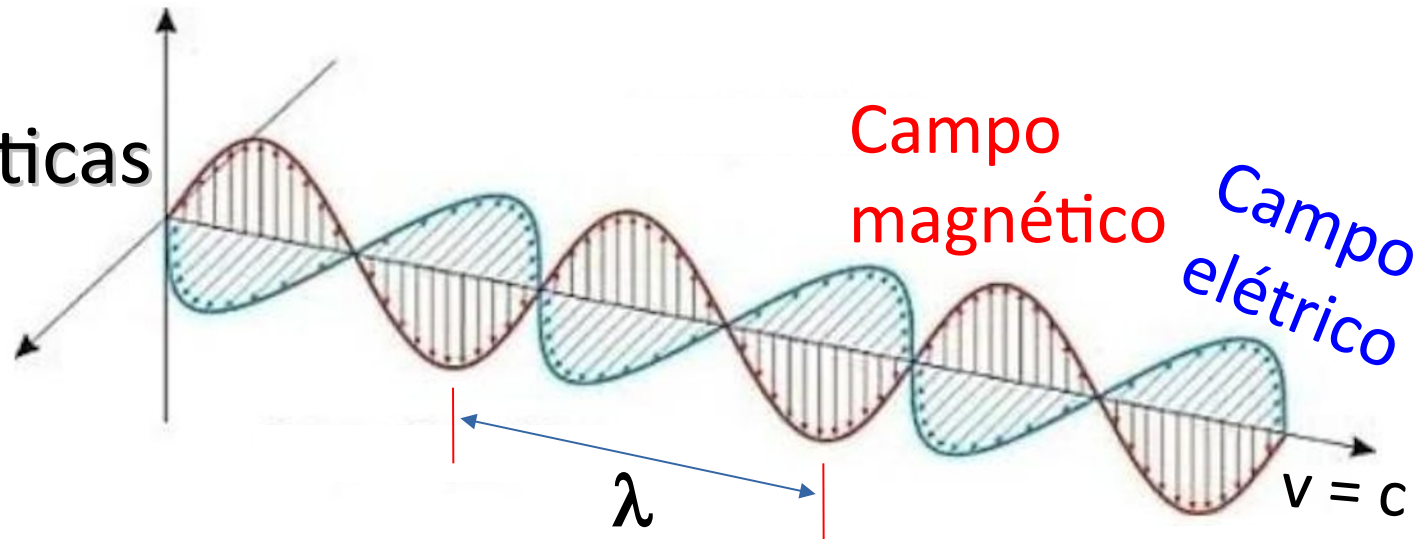
Ex.: cometa Halley foi o 1º cometa periódico → 1P/Halley

Ex.: cometa P/1996 A1 (Jedicke) → **269 P/Jedicke**

Ao se aproximar do Sol, o cometa desenvolve caudas. O Sol emite fótons (radiação eletromagnética) e vento solar (partículas carregadas: prótons, elétrons e núcleos de hélio)



As ondas eletromagnéticas carregam energia e **momento**



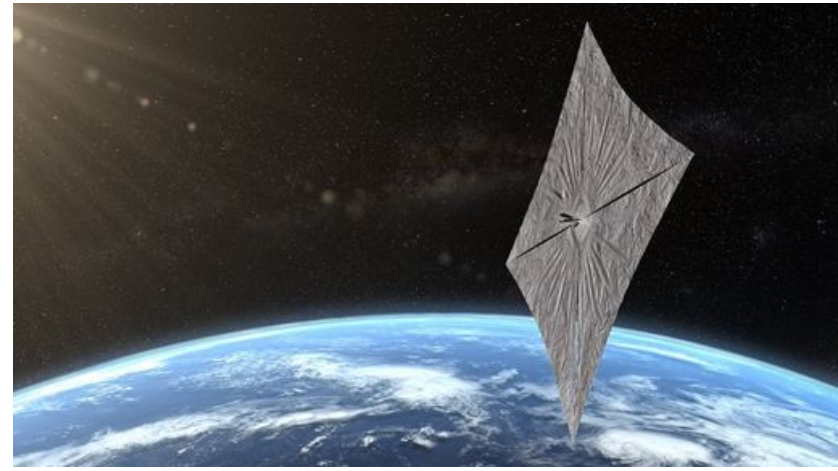
Os campos **elétrico** e **magnético** vibram em planos perpendiculares à direção de propagação da onda, que se move através do espaço à velocidade da luz. Os fótons carregam energia e momento.

Relatividade: $E^2 = p^2c^2 + m^2c^4$

Fótons não têm massa: $\rightarrow p = E/c$

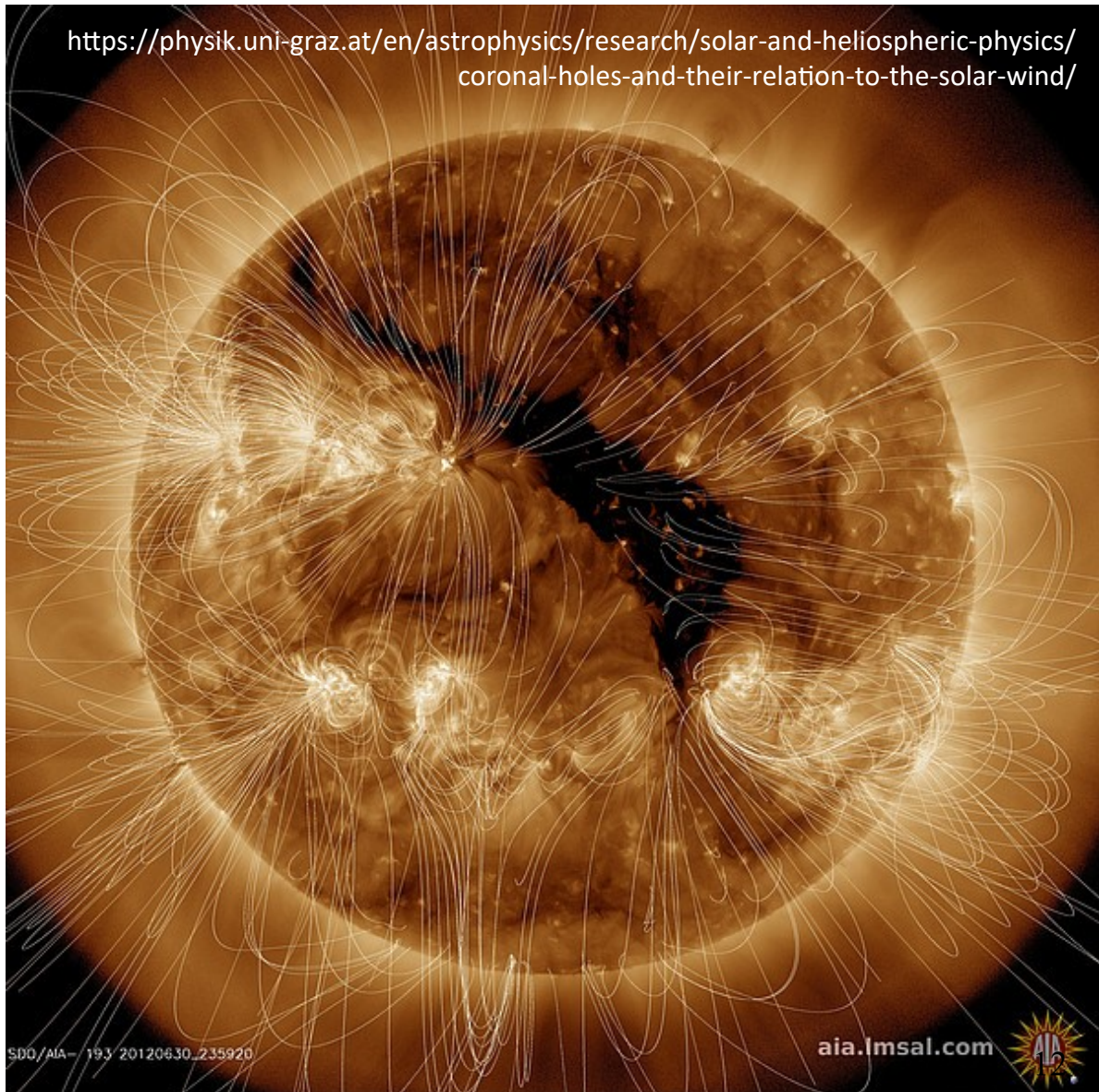
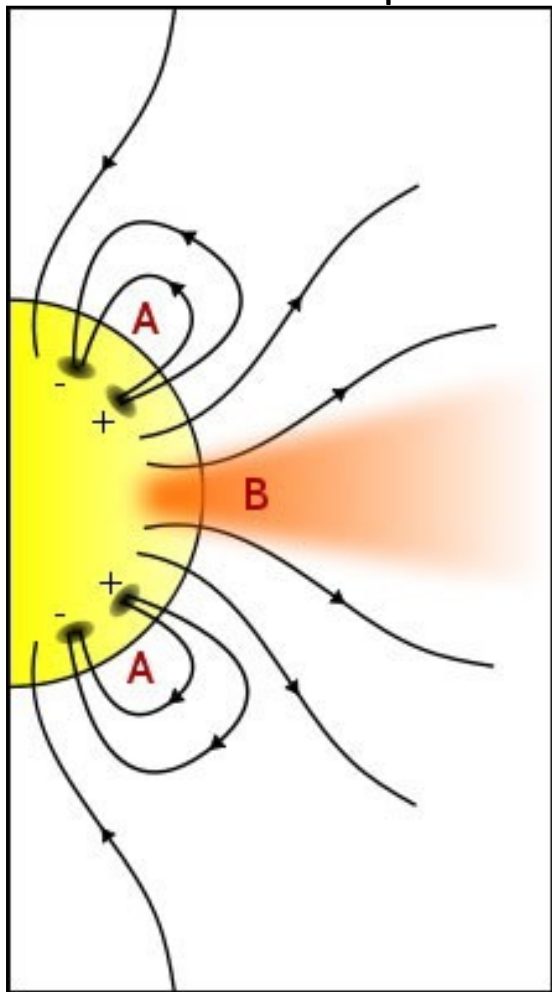
Momento da luz \rightarrow pressão de radiação

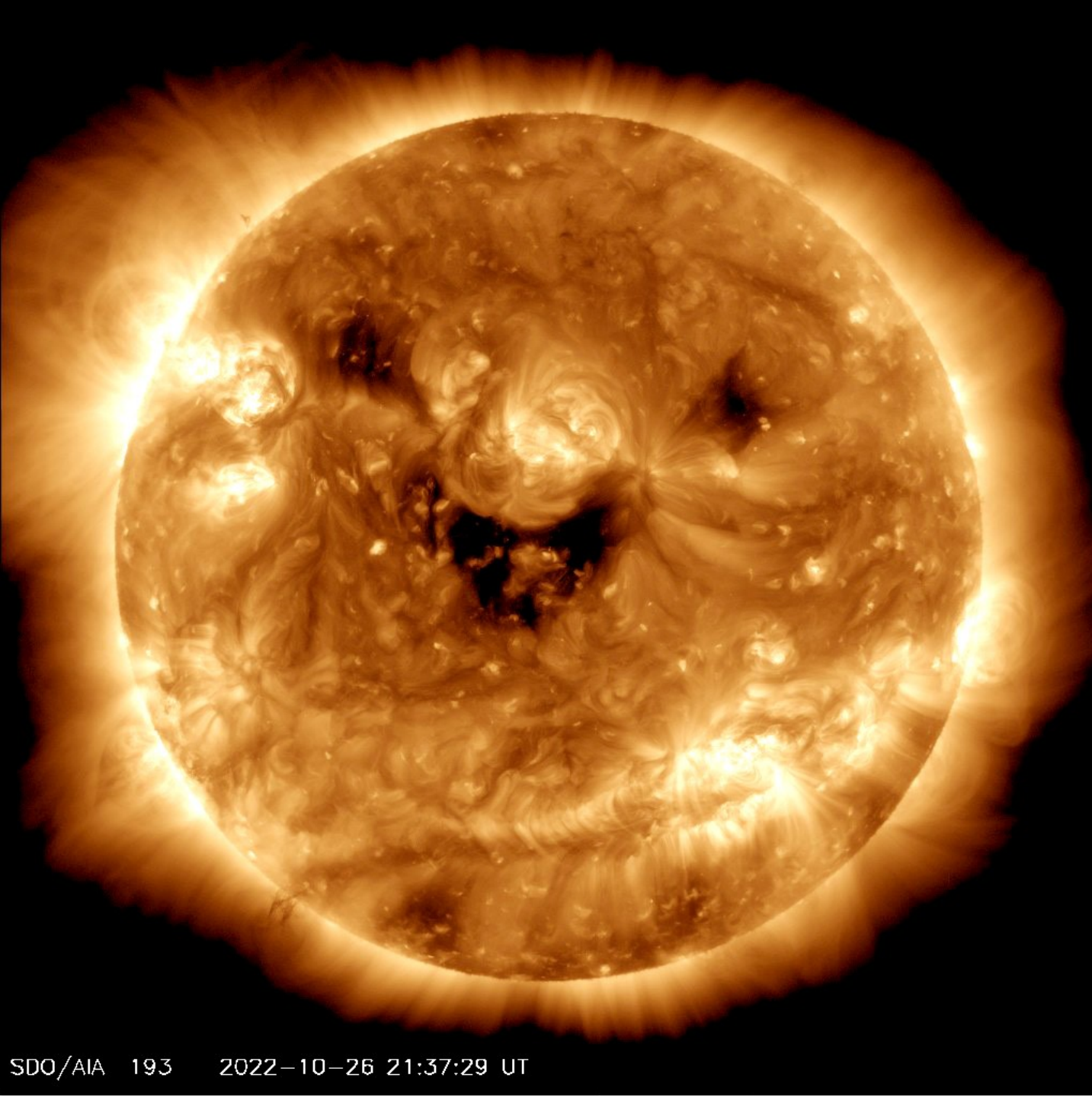
Vela solar LightSail 2



O Sol lança continuamente matéria para o espaço. Esse vento solar tem uma velocidade global de ~ 400 km/s, e quando se desprende de um buraco coronal viaja muito mais rápido, com até ~ 800 km/s.

Essas regiões têm linhas de campo abertas, permitindo um fluxo mais rápido do vento solar.





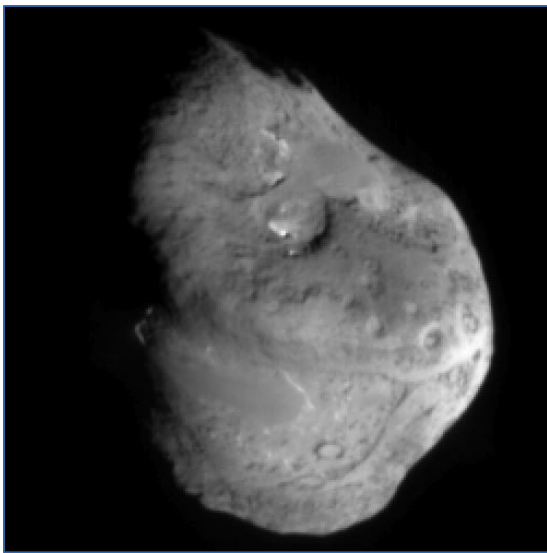
O Sol "sorrindo",
capturado pela
NASA em
radiação
ultravioleta
extremo (193 \AA
 $= 19,3 \text{ nm}$) em
26/10/2022

As regiões
escuras são
"buracos
coronais", onde
o vento solar é
mais intenso.

Núcleo de cometa longe do Sol

Cometa Tempel 1 (8x5 km), Deep Impact / NASA

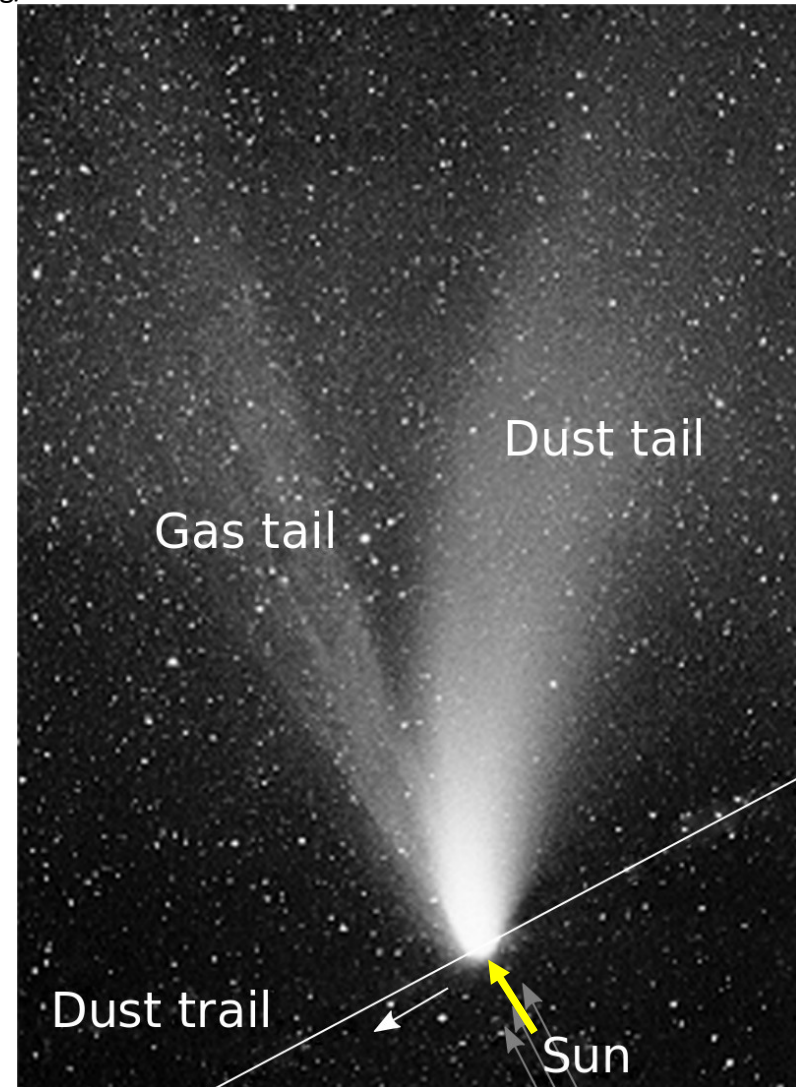
<https://photojournal.jpl.nasa.gov/catalog/PIA02127>



Ao se aproximar ao Sol, temos a formação de 2 caudas

A cauda de poeira, pela pressão de radiação

A cauda de íons (gás ou plasma), pela interação do vento solar com partículas do cometa ionizadas pela luz UV do Sol



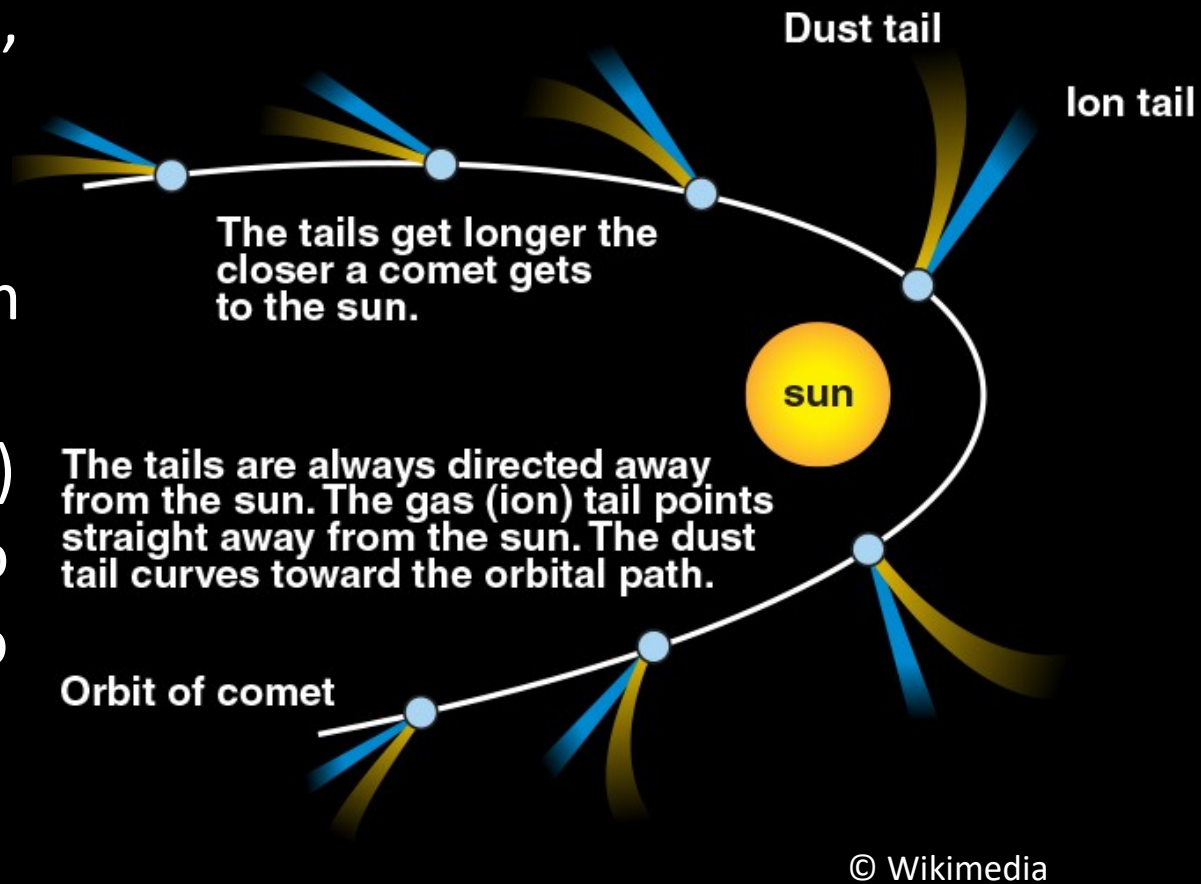
A cauda de íons é estreita e retilínea, a de poeira é larga e encurvada



Cometa
C/2020 F3
#Neowise
(c) Takao
Sambommatsu,
23/Jul/2020

Ao se aproximar ao Sol, a radiação solar aquece o núcleo do cometa, liberando partículas e gases, que são levados para longe pelo vento solar (**cauda de íons**) e a pressão de radiação (**poeira**)

O gás é ionizado (p.ex., CO^+ , N_2^+ , CO_2^+) pela radiação UV do Sol. A interação dos íons com o vento solar causa a cauda de plasma (íons) apontando em direção oposta ao Sol. O brilho é pela recombinação dos íons. Exemplo:
 $\text{CO}^+ + e^- = \text{CO} + \text{fóton}$



A poeira é empurrada pela pressão de radiação, mas a baixas velocidades, criando uma cauda de poeira curvada na direção da órbita. Essa cauda brilha porque reflete a luz do Sol.

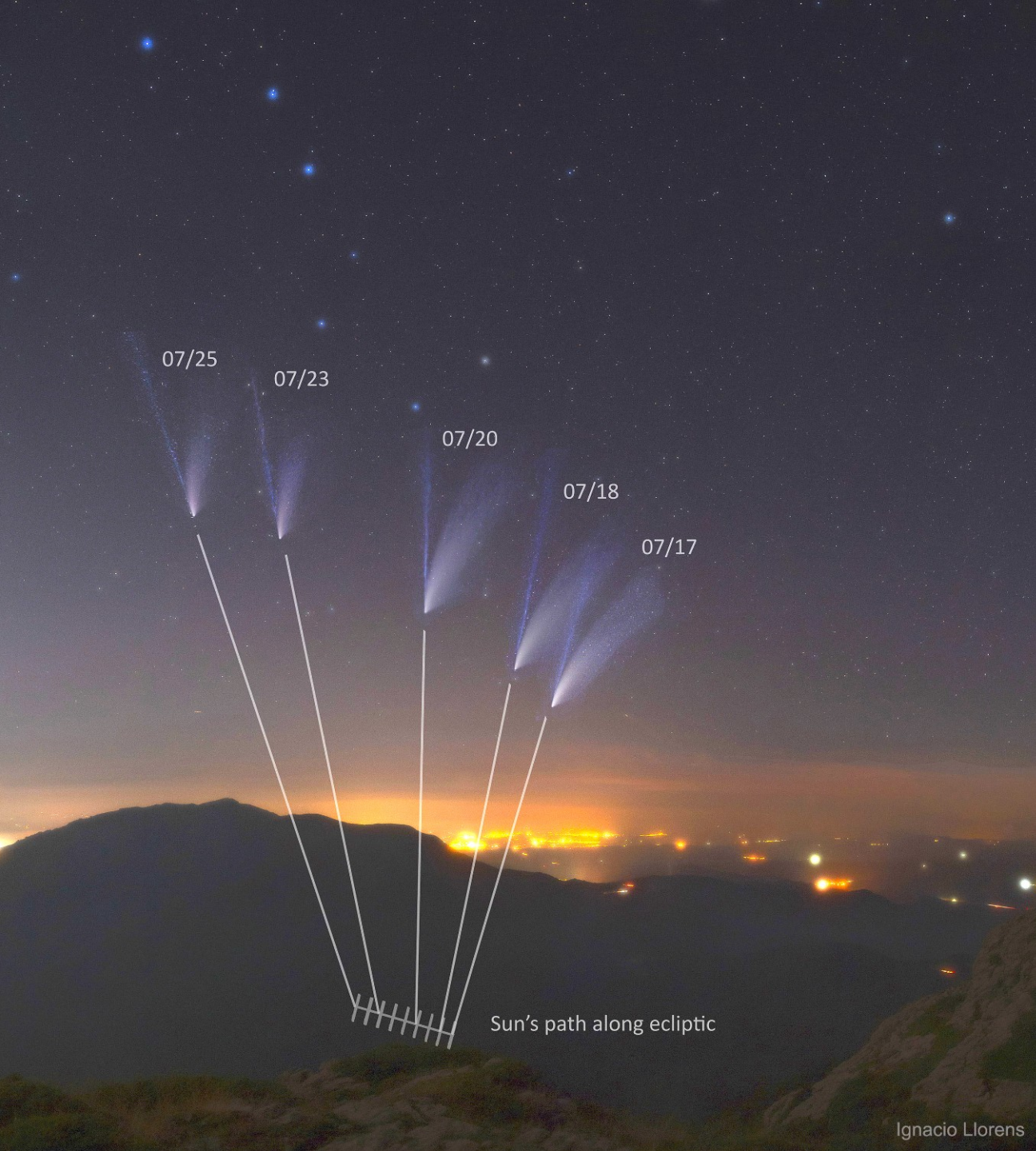


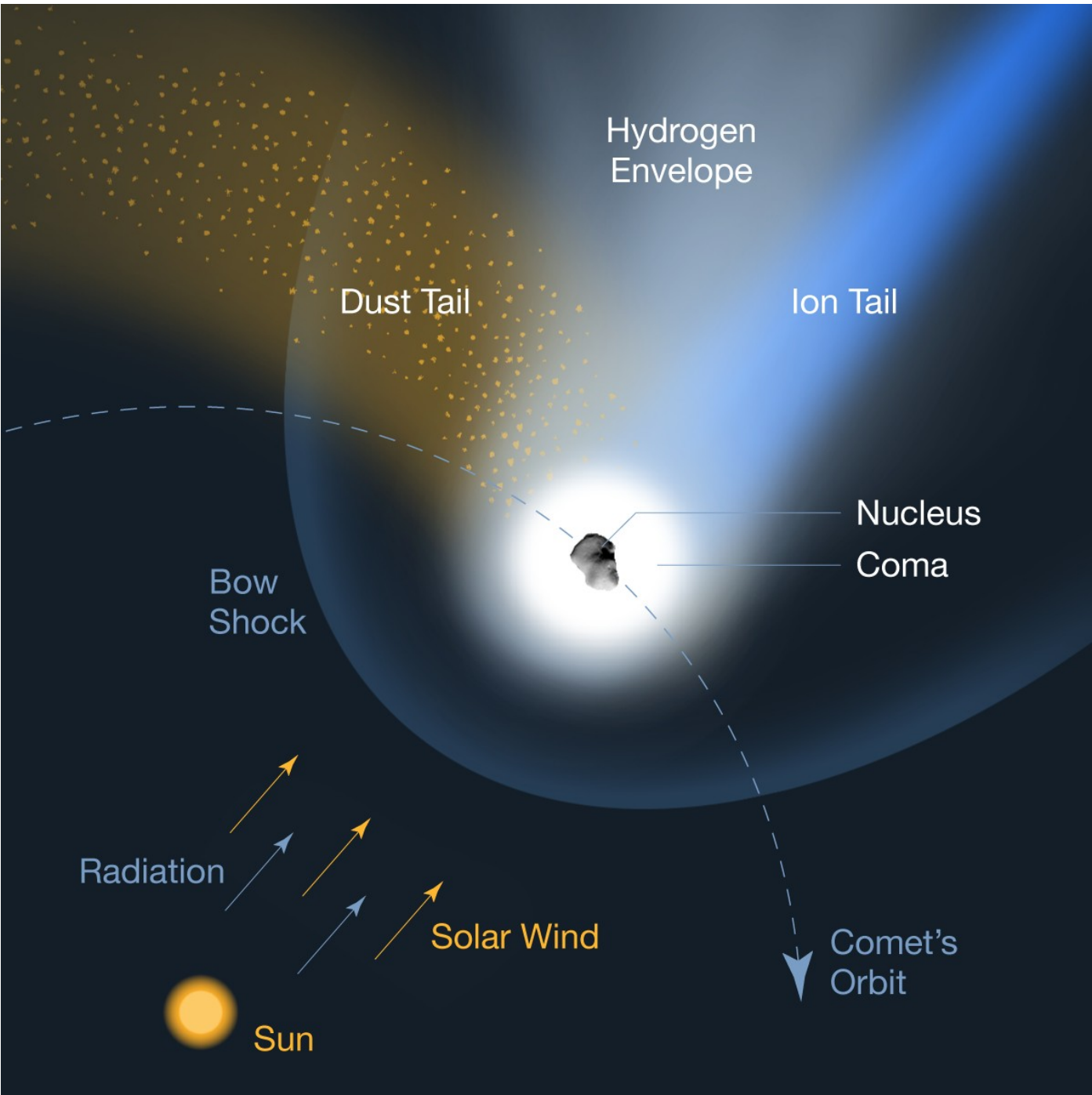
Imagem
composta do
cometa C/2020 F3
#Neowise
(c) Ignacio Llorens
17-25/Jul/2020

As caudas do
cometa Neowise,
apontando em
direção oposta ao
Sol

Partes do cometa:

- **Núcleo** ~5 km
- Coma ~10⁶ km
- Caudas ~10⁸ km de íons e poeira
- Envoltório de hidrogênio ~10⁷ km
- Arco de choque (interação do vento solar e a ionosfera cometária)

Albedo baixo.
Halley: 0,04
Churyumov-Gerasimenko 0,06



O cometa (Pedro) Bernardinelli-Bernstein, anunciado em 6/2019, é o maior descoberto até agora (~130km).

2014: 29 UA, 2021: 20 UA, 1/2031 (periélio): 10,9 UA

 **SOCIEDADE BRASILEIRA DE FÍSICA**
@sbfisica

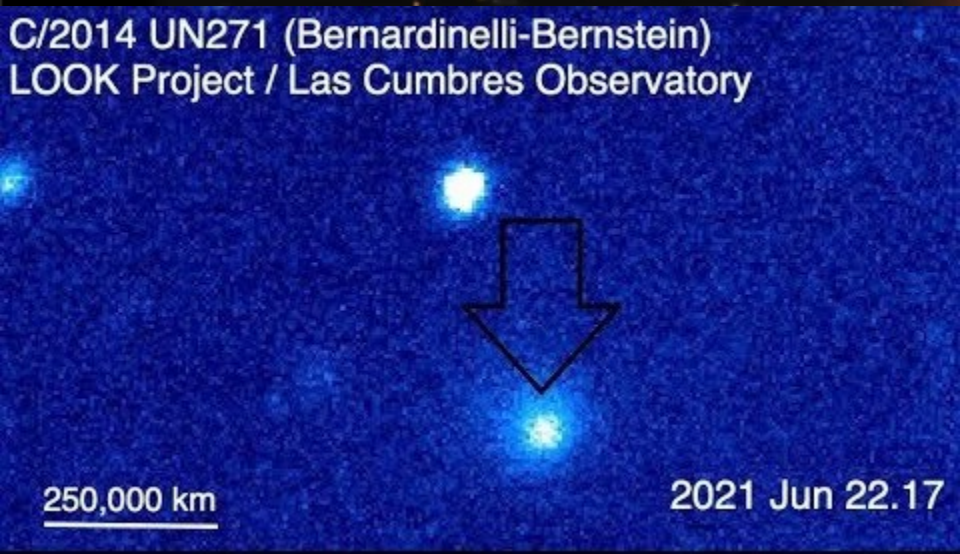
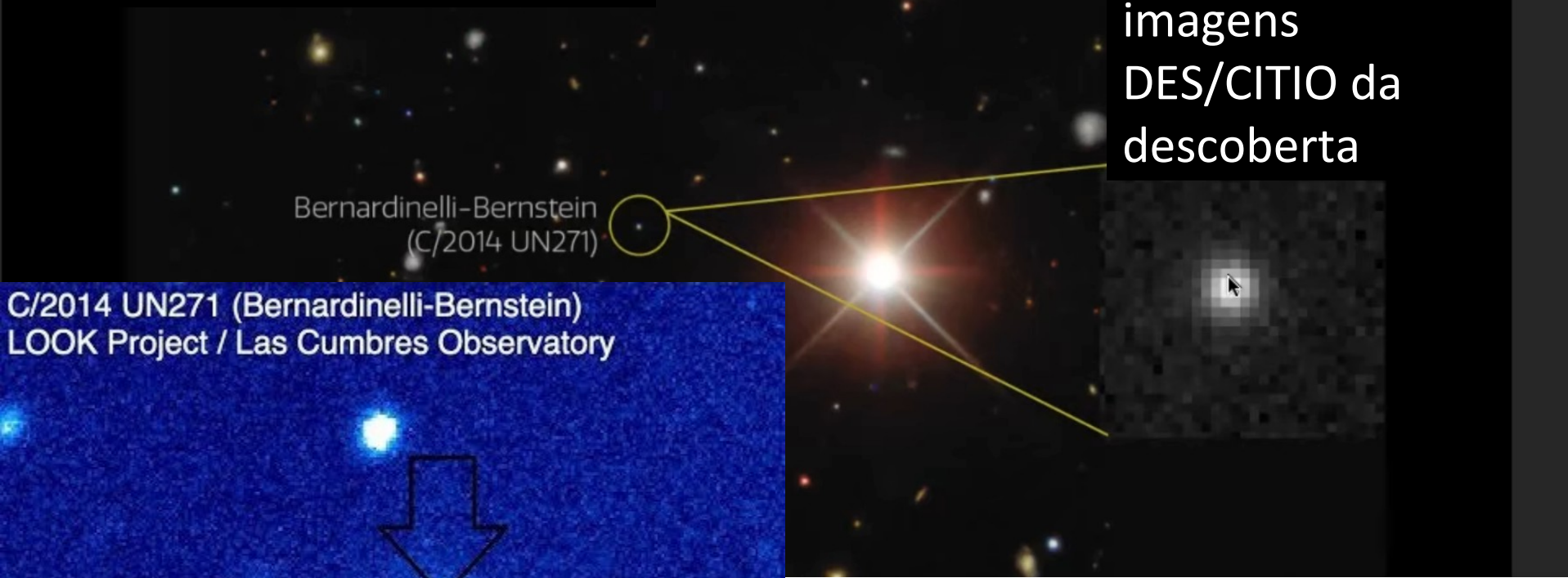
Física ao Vivo - Hoje - 17/11 - 19h

Hoje é a vez de Pedro Bernardinelli, da Universidade de Washington, falar sobre "Cometas gigantes e mundos pequenos nos confins gelados do Sistema Solar".

nos confins gelados do Sistema Solar

Assistir mais tarde Compartilhar

Pedro Henriqu...



Esquerda: imagem de 6/2021 mostrando a coma do cometa

Dimensions

$a/b = 1.26 \pm 0.11^{[8]}$

Orbit type

Oort cloud

Mean diameter

$119 \pm 15^{[e]}$ to 137 ± 17 km[[]

Aphelion

≈ 39,600 AU

Synodic rotation period

20.6 ± 0.2 d^[8]

Perihelion

10.9502 AU

Geometric albedo

0.033 ± 0.009 to
 $0.044 \pm 0.012^{[f]}$

(1.64 billion km)

≈ 19,800 AU

Cometa Bernardinelli-Bernstein é da nuvem de Oort

Semi-major axis**Eccentricity**

0.99945

Inclination

95.466°

Orbital period

≈ 2.79 million yr

Next perihelion

≈ 23 January 2031



C/2014 UN₂₇₁ (Bernardinelli–Bernstein)

Pedro Henrique Bernardinelli

Graduação em Física no IF/USP



2016 - 2021 Doutorado em Physics and Astronomy.
University of Pennsylvania, UPENN, Estados Unidos.
Título: Characterizing the outer Solar System with the Dark Energy Survey,
Orientador: Gary Bernstein.
Coorientador: Masao Sako.

2012 - 2015 Graduação em Física.
Instituto de Física da Universidade de São Paulo, IFUSP, Brasil.

BBC NEWS BRASIL

Leandro Machado
Da BBC News Brasil em São Paulo

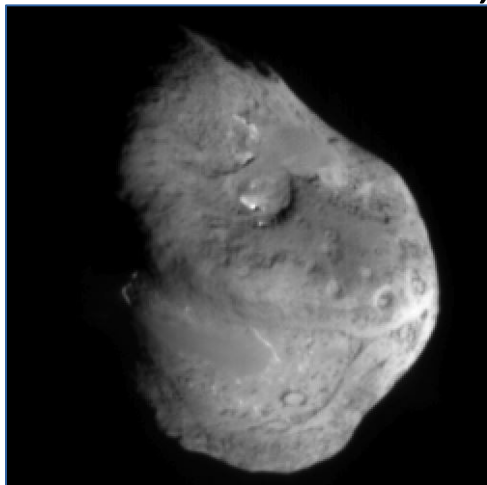
20 novembro 2021

O cientista brasileiro que descobriu o maior cometa já visto no Universo: 'Foi pura sorte, um acaso'

<https://www.bbc.com/portuguese/brasil-59269265>

Núcleo: tipicamente ~1 a 10 km.

Tamanhos de ~0,1 km a ~100 km, mas raramente acima de 10 km



Cometa Tempel 1,
8x5 km.
Deep Impact, NASA

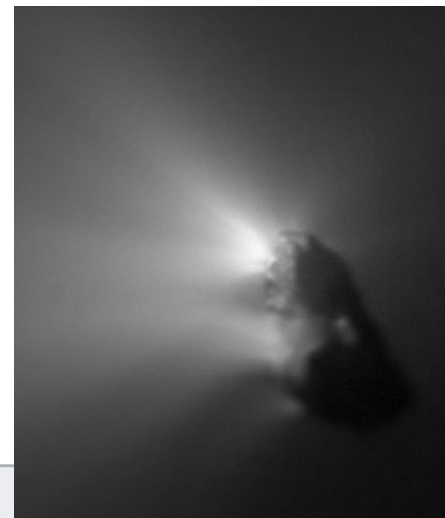
<https://photojournal.jpl.nasa.gov/catalog/PIA02127>

Cometa Halley,
8x 15 km

ESA

14/3/1986

Baixa densidade



Nome	Dimensões (km)	Densidade (g/cm ³)	Massa (kg) ^[40]
Cometa Halley	15 × 8 × 8	0.6	3×10 ¹⁴
9P/Tempel 1	7.6 × 4.9	0.62	7.9×10 ¹³
19P/Borrelly	8 × 4 × 4	0.3	2.0×10 ¹³
81P/Wild	5.5 × 4.0 × 3.3	0.6	2.3×10 ¹³
67P/Churyumov-Gerasimenko	4.1 × 3.3 × 1.8	0.47	1.0×10 ¹³



Cometa
103 P/Hartley,
0,7x 2,3 km
EPOXI / NASA

103 P/Hartley 0,7x2,3 km 0,2 - 0,4 3x10¹¹

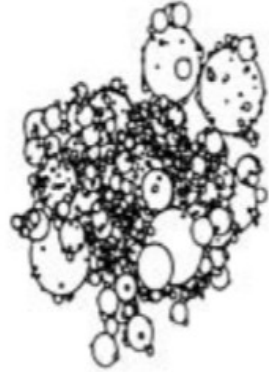
A densidade do núcleo dos cometas ($0,3 - 0,6 \text{ g/cm}^3$) é menor que a densidade de gelo de água ($0,92 \text{ g/cm}^3$) na superfície da Terra.

→ o núcleo não é um bloco de gelo sujo (a), mas uma agregação “fofa” de pequenos grãos (b).

a)



b)



Núcleo do cometa
67P/Churyumov–
Gerasimenko
observado em
19/9/2014 pela missão
europeia Rosetta.

Devido à fragilidade dos núcleos cometários, os cometas se fragmentam facilmente quando se aproximam do Sol ou de Júpiter, como o cometa Shoemaker-Levy 9, que possivelmente se fragmentou ao passar perto de Júpiter (40000 km acima das nuvens de Júpiter) no 7/jul/1992

https://en.wikipedia.org/wiki/Comet_Shoemaker%E2%80%9393Levy_9



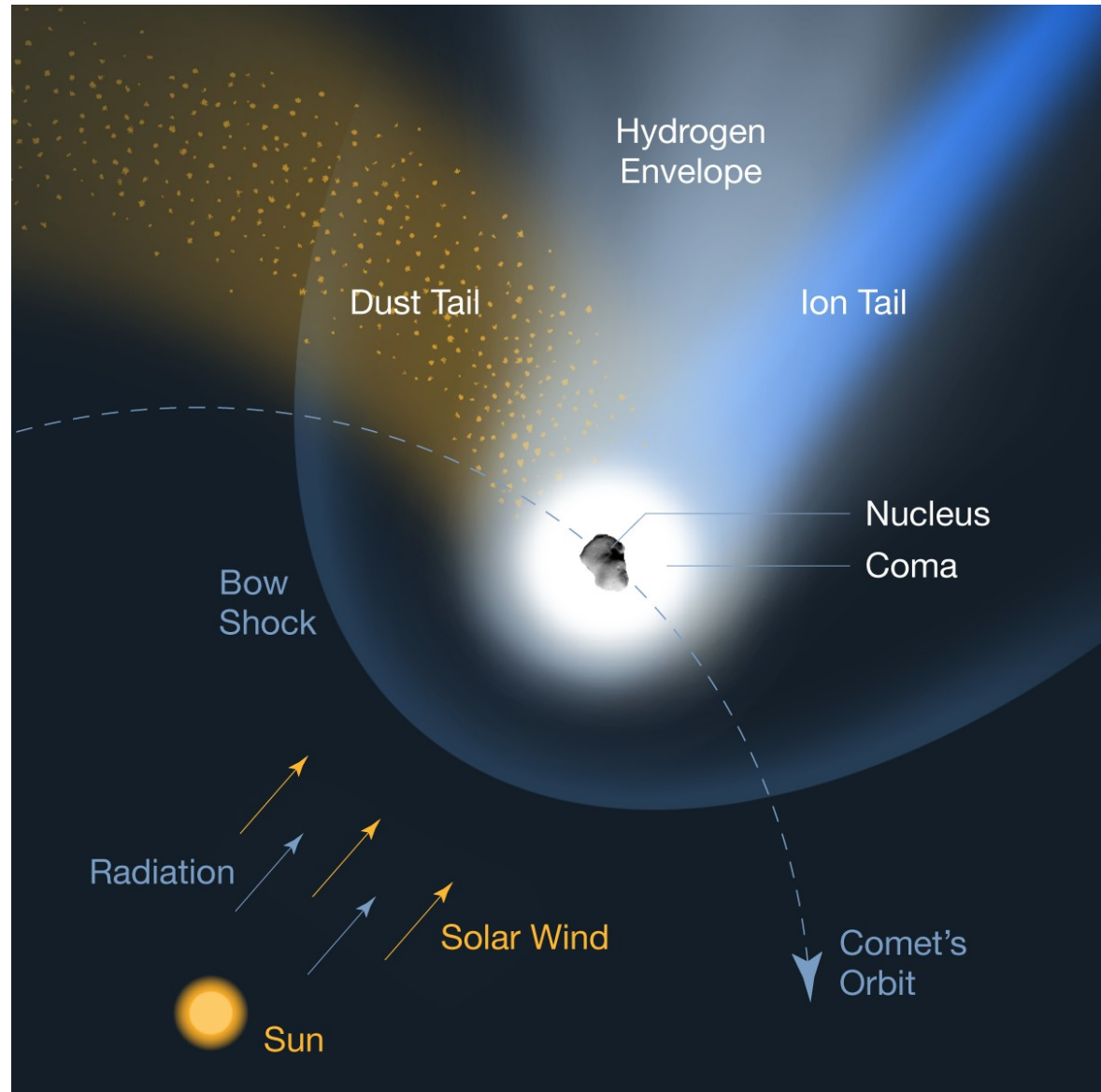
A NASA Hubble Space Telescope (HST) image of comet Shoemaker-Levy 9, taken on May 17, 1994, with the Wide Field Planetary Camera 2. When the comet was observed, its train of 21 icy fragments stretched across 1.1 million km, or 3 times the distance between Earth and the Moon.

Longe do Sol o cometa é só o núcleo gelado de ~ 5 km

COMA: ao se aproximar do Sol (~ 5 UA), o **núcleo é aquecido**, liberando compostos voláteis mais leves, que levam junto pequenas partículas de poeira, formando assim uma **coma de gás e poeira** de $\sim 10^6$ km

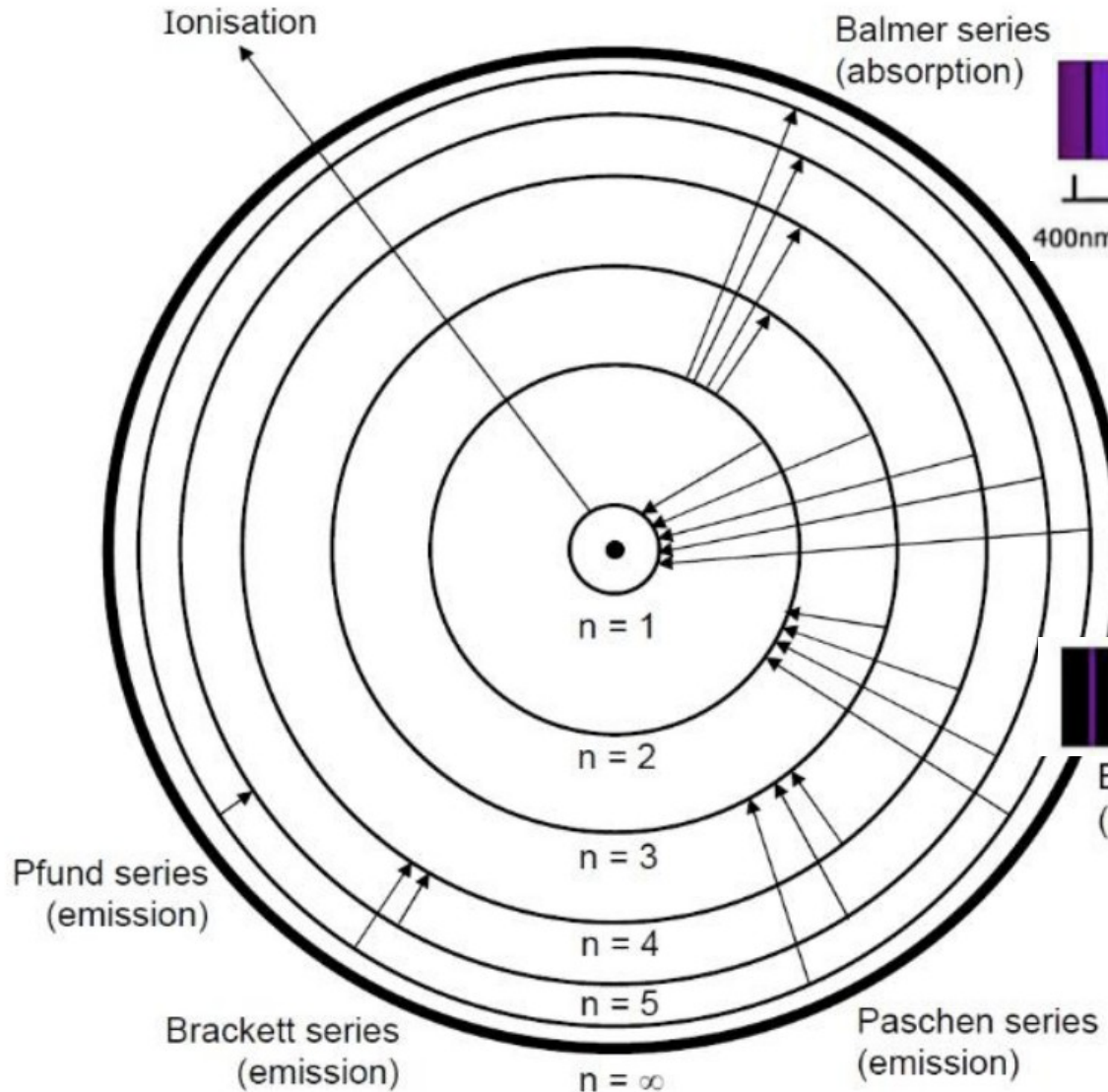
Poeira reflete a luz do Sol

O gás absorve a luz UV \rightarrow ionização (ou excitação para um nível maior de energia) \rightarrow emissão de luz na recombinação (ou por desexcitação)

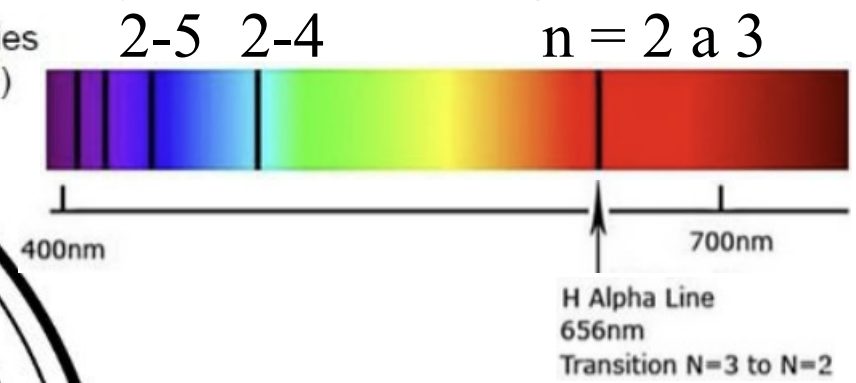


Átomo de hidrogênio

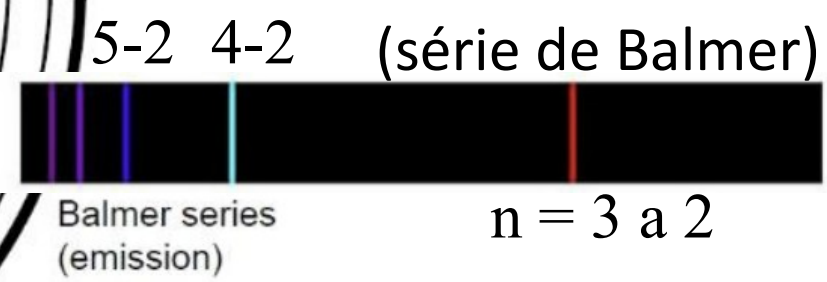
Absorção de fóton → elétron excitado



Espectro de absorção (Balmer)

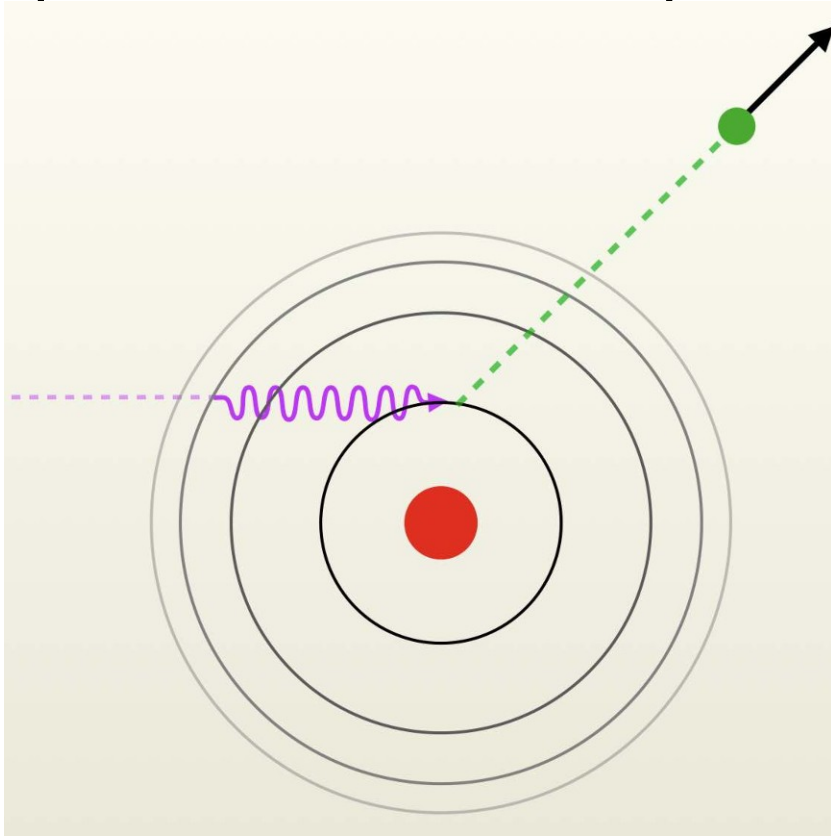


Espectro de emissão

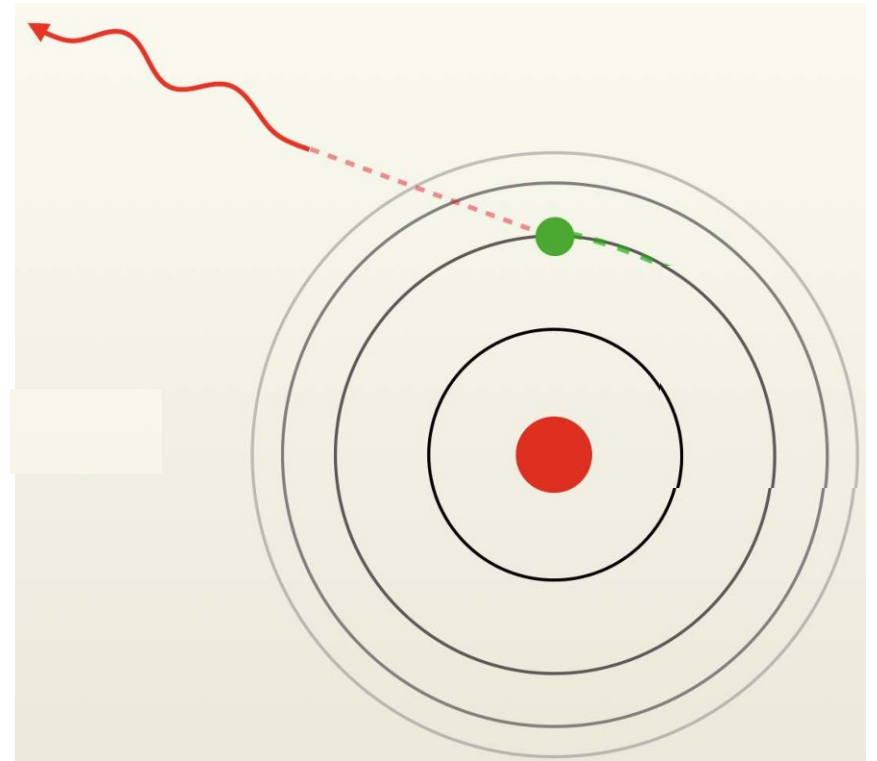


Elétron desexcitado
→ Emissão de fóton

Ionização
(fóton é absorvido)



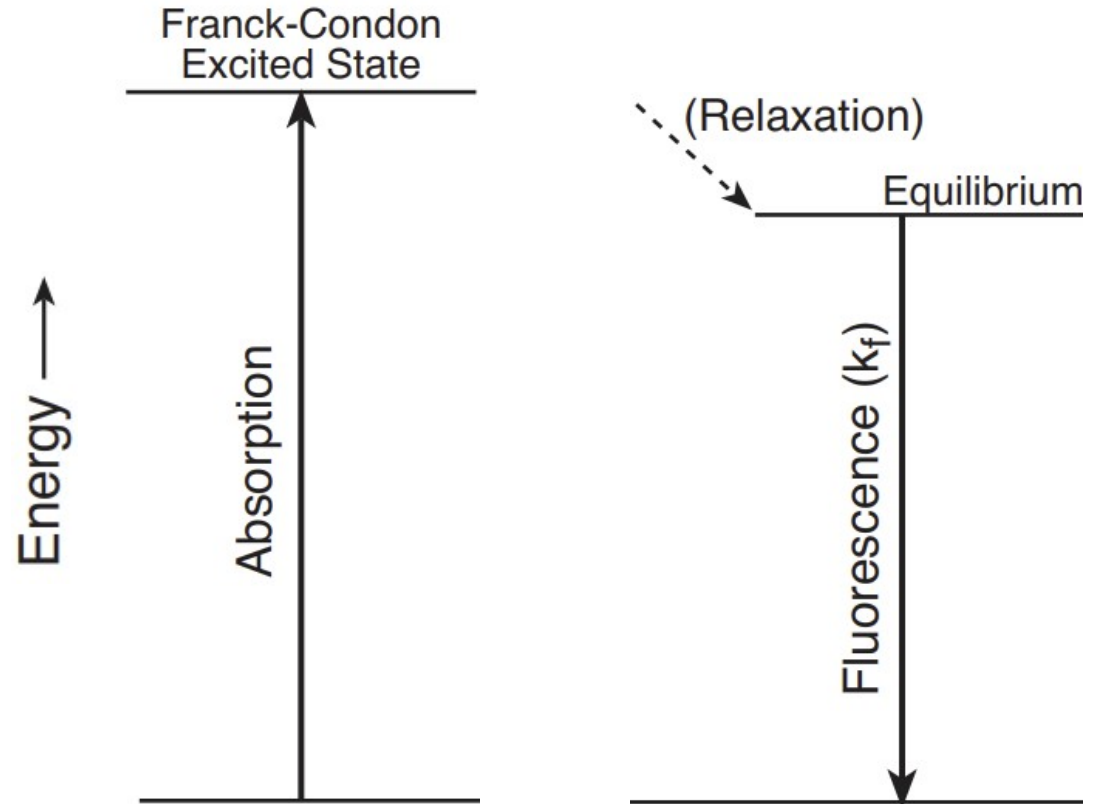
Recombinação
(fóton é emitido)



Fluorescência em moléculas

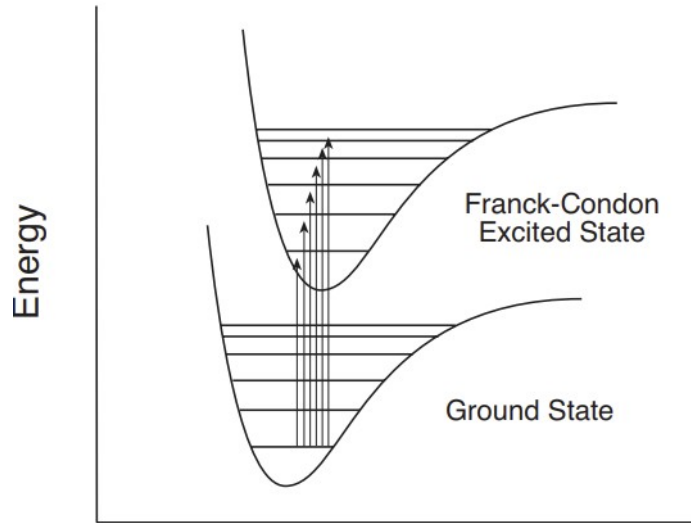
O fóton emitido pode ser de energia menor (maior comprimento de onda λ) que o fóton absorvido.

Ex.: fóton ultravioleta absorvido e fóton visível emitido



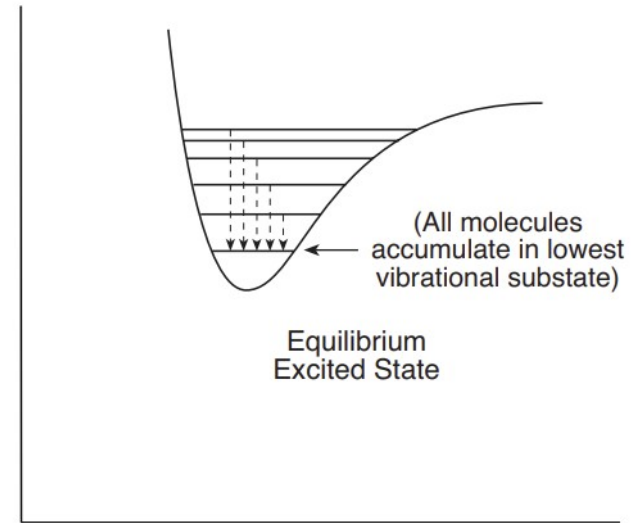
$$E = h\nu = \frac{hc}{\lambda}$$

Absorption



----->
(Picoseconds)

Relaxation to Equilibrium Excited State



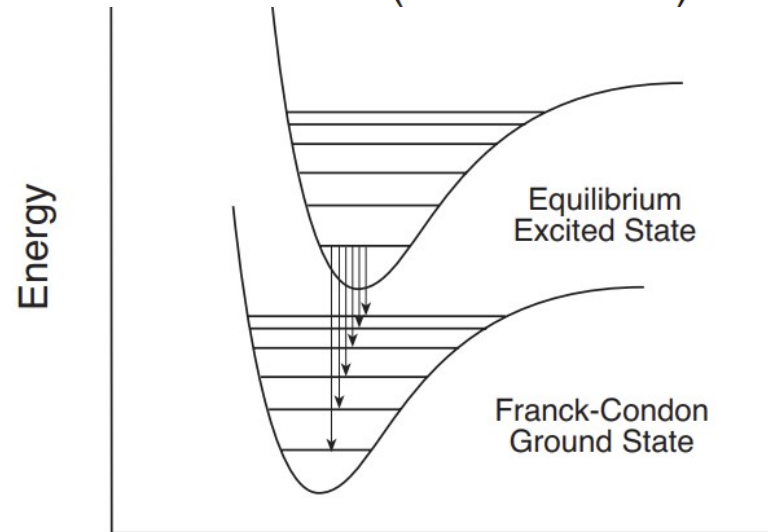
Internuclear Separation

Internuclear Separation

Fluorescência.

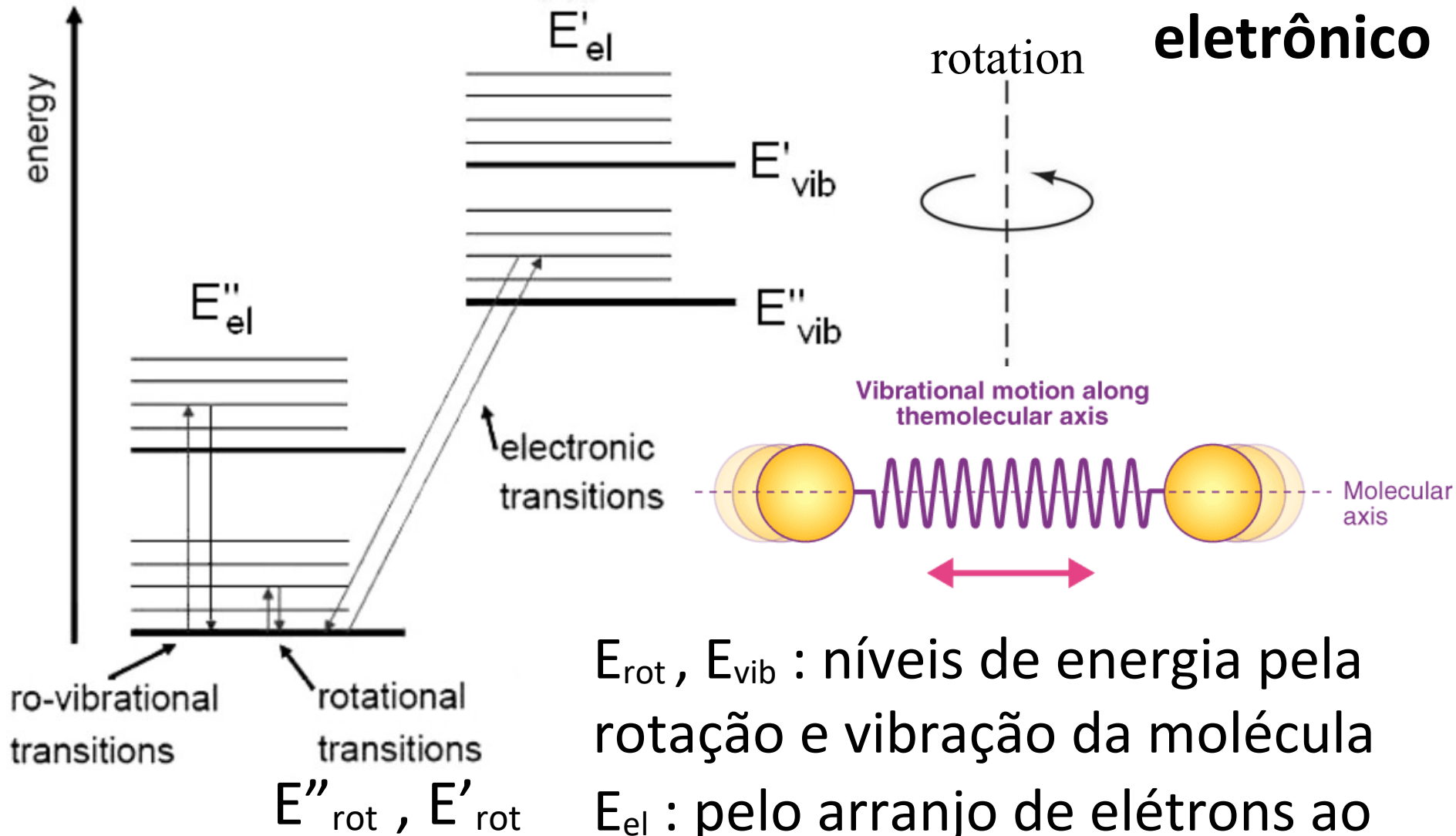
Parte da energia é consumida em rearranjos internos da molécula, portanto a emissão é de menor energia

Photon Emission (Fluorescence)



Internuclear Separation

Níveis de energia da molécula: rotac., vibracional, eletrônico



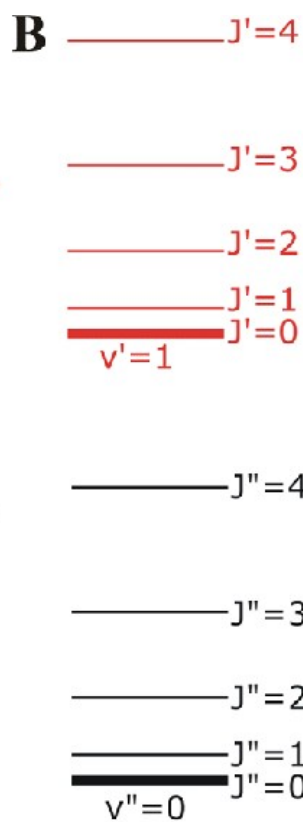
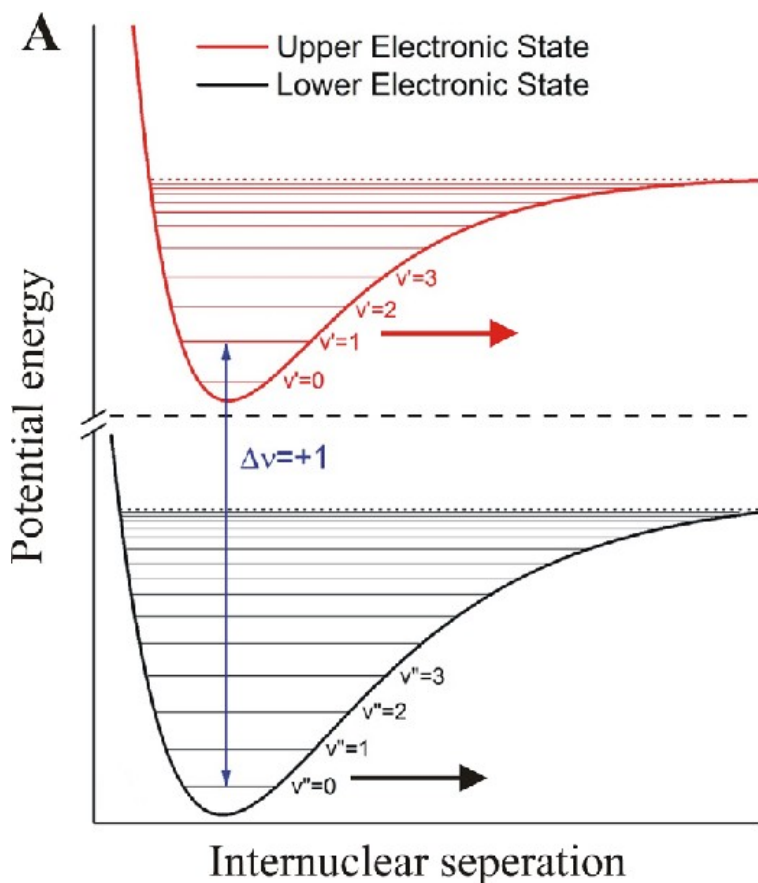
E_{rot} , E_{vib} : níveis de energia pela rotação e vibração da molécula

E_{el} : pelo arranjo de elétrons ao redor de seus vários núcleos

Níveis de energia: eletrônico, vibrac. (v) e rotac. (J)

$$\tilde{E}_{total} = \tilde{\nu}_{el} + G(v) + F(J)$$

$$\tilde{E}_{total} = \underbrace{\tilde{\nu}_{el}}_{\text{electronic}} + \underbrace{\tilde{\nu}_e \left(v + \frac{1}{2} \right) - \tilde{\chi}_e \tilde{\nu}_e \left(v + \frac{1}{2} \right)^2}_{\text{vibrational}} + \underbrace{\tilde{B}J(J+1) - \tilde{D}J^2(J+1)^2}_{\text{rotational}}$$



Com a energia inferior e superior \rightarrow

$$\Delta E = E_{\text{high}} - E_{\text{low}}$$

E a respectiva ν ou λ

$$E = h\nu = \frac{hc}{\lambda}$$

Banda vibracional $v = 0, 1$ da molécula HCl

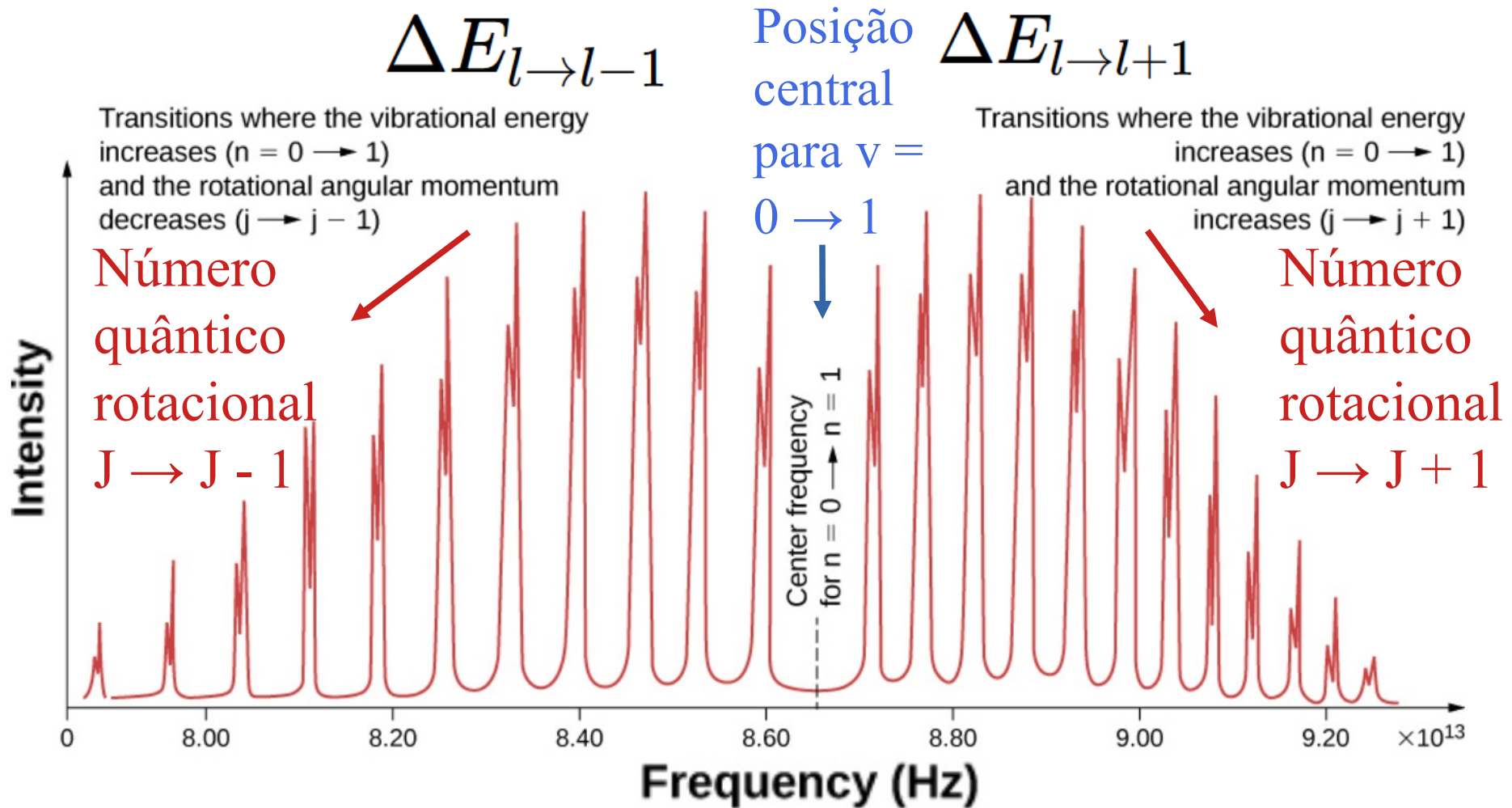
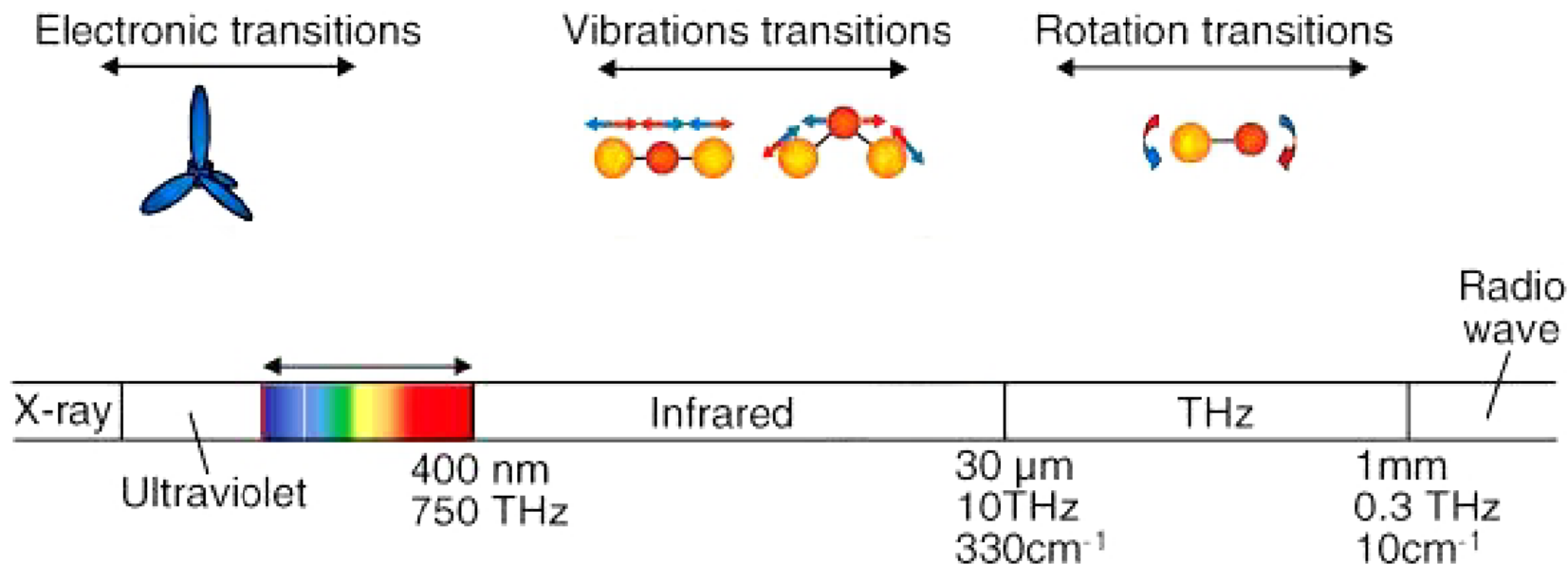


Figure 9.3.2: Absorption spectrum of hydrogen chloride (HCl) from the $n = 0$ to $n = 1$ vibrational levels. The discrete peaks indicate a quantization of the angular momentum of the molecule. The bands to the left indicate a decrease in angular momentum, whereas those to the right indicate an increase in angular momentum.

Transições eletrônicas são observadas principalmente no ultravioleta, vibro-rotacionais no visível e infravermelho, e puramente rotacionais no infravermelho e rádio



Detalhes desse slide só para contexto geral (não entra na P2)

A absorção das linhas é calculada via:

$$\kappa_{\lambda}^{mol} = \frac{\pi e^2}{m_e c^2} \lambda_0^2 g_{J''} f_{v'J',v''J''} N_{el,v'',J''}^{AB} \frac{H(a, u)}{\sqrt{\pi \Delta \lambda_D}} (1 - e^{-hc/\lambda_0 kT})$$

- $\Delta \lambda_D$ é a largura Doppler da linha, $\Delta \lambda_D = \frac{\lambda}{c} \sqrt{\frac{2kT}{m} + \eta^2}$, onde m é a massa
- λ_0 é o comprimento de onda do centro da linha
- $g_{J''}$ é o peso estatístico do estado rotacional do nível inferior ($g_{J''} = 2J'' + 1$).
- $f_{v'J',v''J''}$ é a força de oscilador molecular da linha.
- $N_{el,v'',J''}^{AB}$ é a população do nível el,v'',J'' da molécula AB por unidade de $g_{J''}$, dado por:
 - $H(a, u)$ é a função de Hjertings, depende de $u = \Delta \lambda / \Delta \lambda_D$ e de $a = (\lambda^2 \gamma / 4\pi c) / \Delta \lambda_D$.

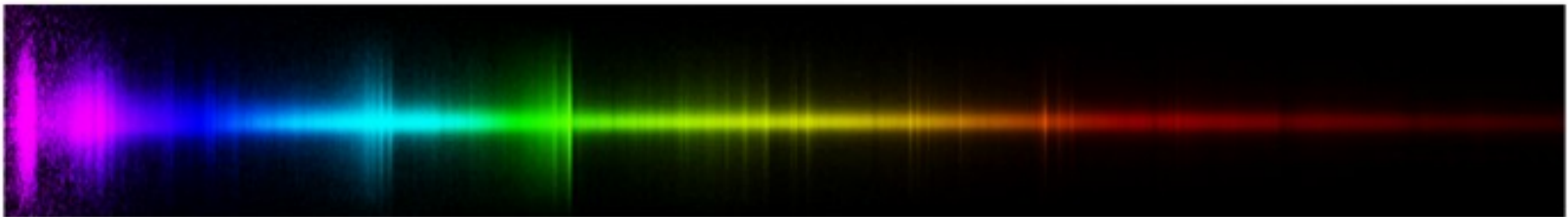
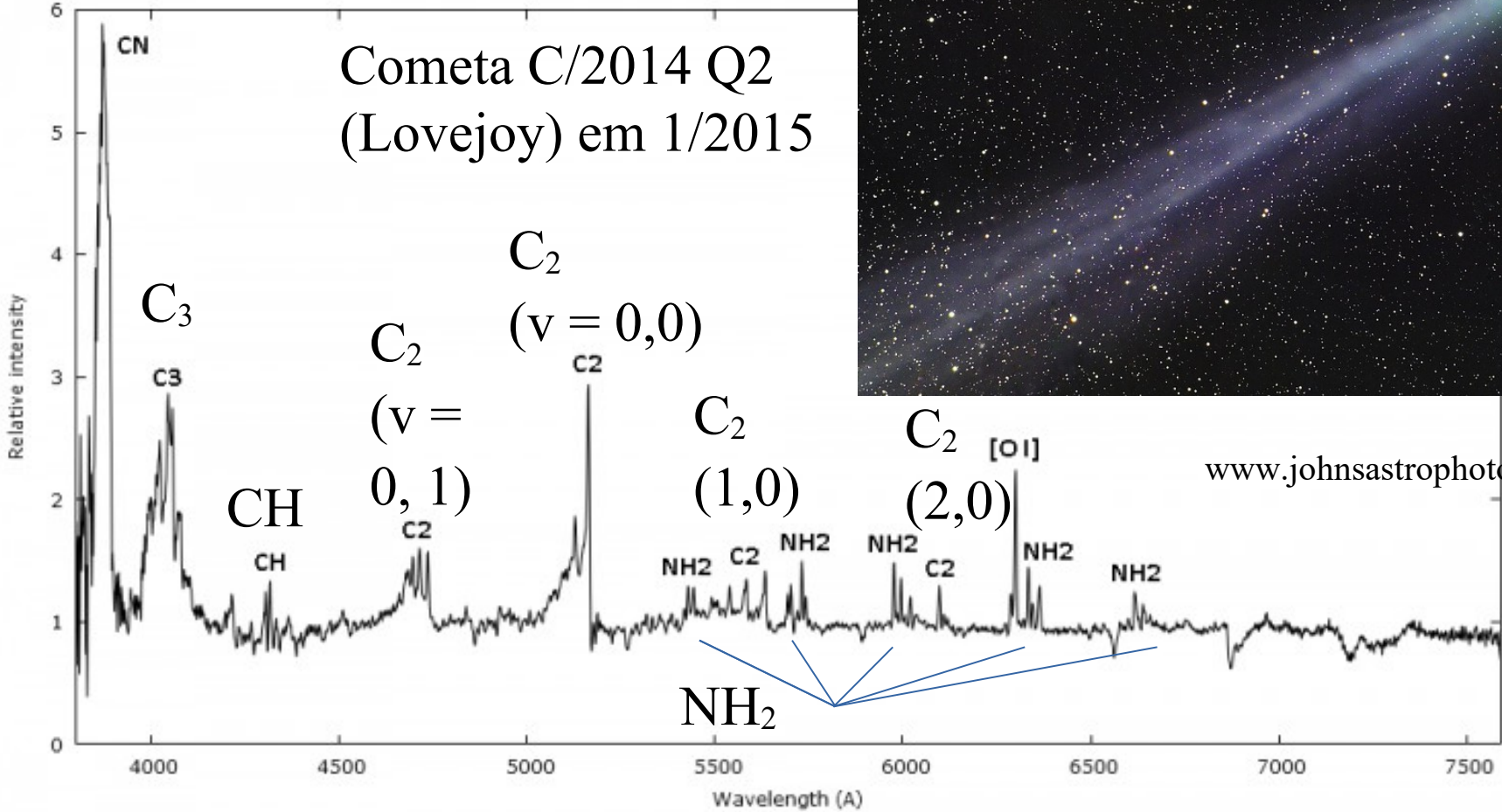
$$N_{el,v'',J''}^{AB} = \left(\frac{2\pi kT \mu}{h^2} \right)^{-3/2} \frac{N_A N_B}{Q_A Q_B} e^{D_0/kT} \frac{g_{el} g_{v''} g_{J''}}{g_{J''}} e^{-E_{el,v'',J''}/kT}$$

onde μ é o peso molecular médio, N_A e N_B são as abundâncias das espécies A e B , Q_A e Q_B são as funções de partição das espécies A e B , D_0 é o potencial de dissociação, $g_{el} g_{v''} g_{J''}$ são os pesos estatísticos dos estados eletrônico, vibracional e rotacional do nível inferior, e $E_{el,v'',J''}$ é a energia do nível inferior. Segundo Schadee (1964) $g_{el} = (2S''+1)(2 - \delta_{0,\Lambda''})$ e $g_v = 1$.

CN

C2014 Q2 Lovejoy 2015 Jan 6.860 C11 +

Cometa C/2014 Q2
(Lovejoy) em 1/2015



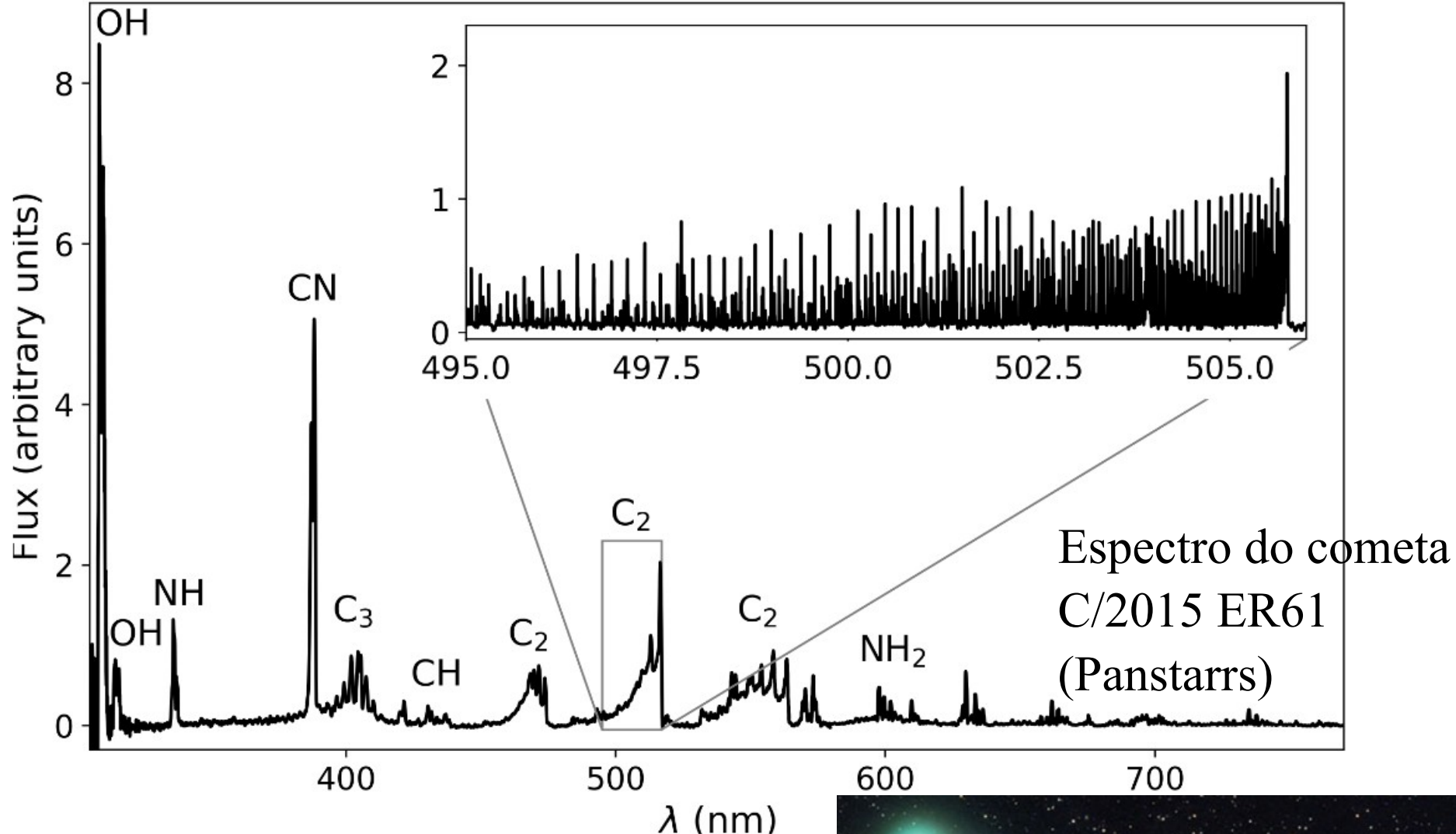


Fig. 4.— Optical spectrum of comet C/2015 ER61 (PANSTARRS) obtained with the ISIS spectrograph at the William Herschel Telescope (A. Fitzsimmons and M. Hyland, priv. comm.). The inset shows the region of the C₂ ($\Delta\nu = 0$) band observed with a much higher spectral resolution using the UVES spectrograph at the VLT (Yang *et al.* 2018).



These molecules are secondary products

HIGH-RESOLUTION SPECTRA OF C₂ SWAN BANDS FROM COMET WEST 1976 VI

DAVID L. LAMBERT

McDonald Observatory and Department of Astronomy, University of Texas

<https://www.eso.org/public/brazil/images/c-west-mar1976-ps/>

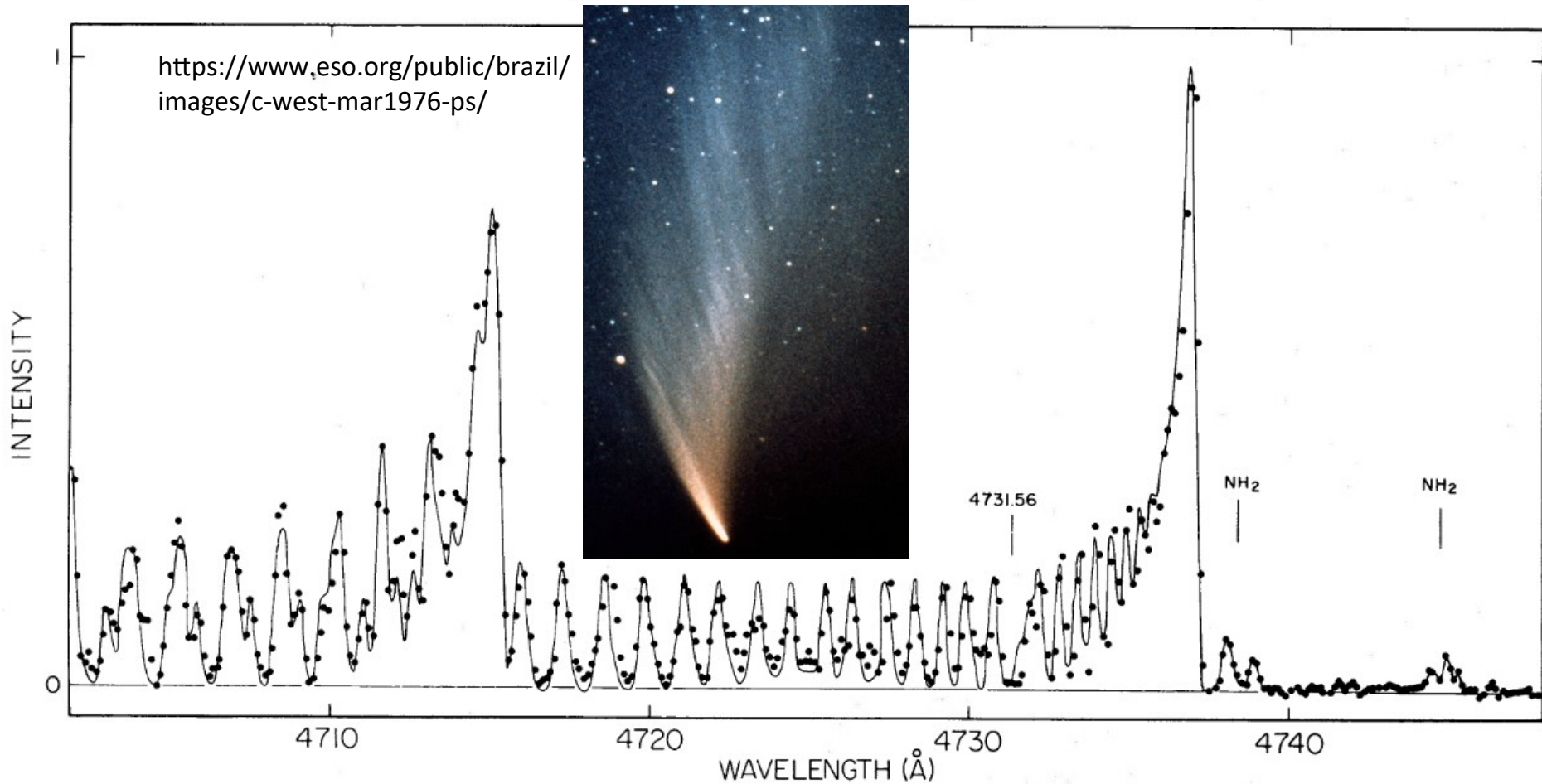


FIG. 1.—The C₂ Swan $\Delta v = +1$ sequence in comet West on 1976 March 21.

The solid line is a synthetic spectrum corresponding to an excitation temperature of 3500 K.

These molecules are secondary products

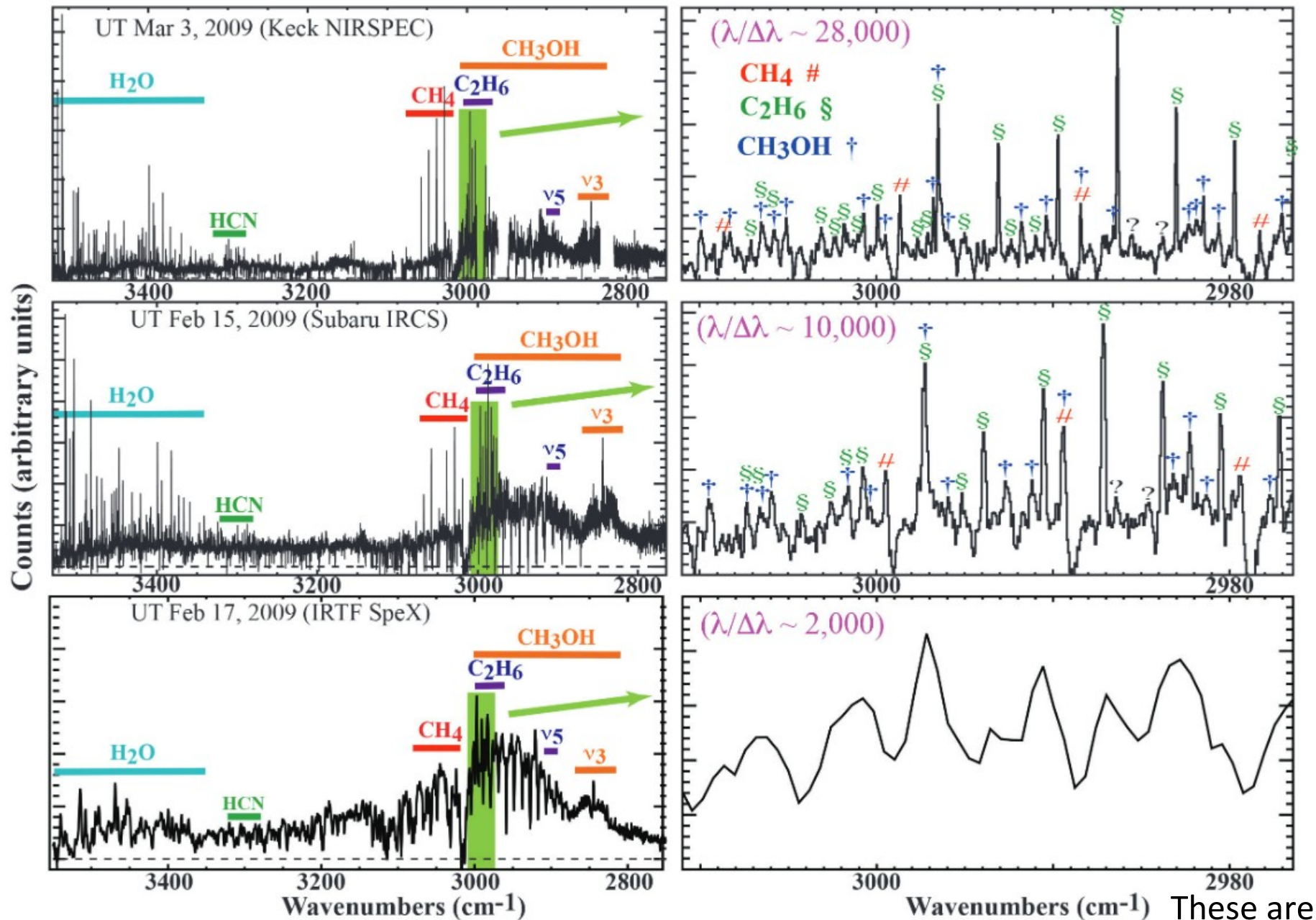


Fig. 3.— Near-IR spectra of comet C/2007 N3 Lulin obtained at different spectral resolving powers. This illustrates the density of ro-vibrational emissions from multiple species with overlapping vibrational bands in some spectral regions. High spectral resolving power is essential for disentangling and interpreting molecular contributions at IR wavelengths.

These are
primary
molecules

Molecule	Name	Abundance relative to water in %		
		from radio	from IR	in-situ in 67P ^a
CO	carbon monoxide	< 1.23–35	0.3–26	0.3–3 ^b
CO ₂	carbon dioxide	-	4–30	7.0 ^b
CH ₄	methane	-	0.15–2.7	0.4 ^b
C ₂ H ₆	ethane	-	0.1–2.7	0.8 ^b
C ₂ H ₂	acetylene	-	0.03–0.37	-
C ₂ H ₄	ethylene	-	0.2	-
C ₃ H ₈	propane	-	-	0.018 ± 0.004
C ₆ H ₆	benzene	-	-	0.00069 ± 0.00014
C ₇ H ₈	toluene	-	-	0.0062 ± 0.0012
CH ₃ OH	methanol	0.7–6.1	< 0.13–4.3	0.5–1.5 ^b
H ₂ CO	formaldehyde	0.13–1.4 ^d	< 0.02–1.1	0.5
HCOOH	formic acid	0.03–0.18	-	0.013
CH ₃ CHO	acetaldehyde	0.05–0.08	-	0.047
c-C ₂ H ₄ O	ethylene oxide	< 0.006	-	-
(CH ₂ OH) ₂	ethylene glycol	0.07–0.35	-	0.011
CH ₃ OCH ₂ OH	methoxymethanol	< 9	-	-
HCOOCH ₃	methyl formate	0.06–0.08	-	0.0034
CH ₂ OHCHO	glycolaldehyde	0.016–0.039	-	-
CH ₃ COOH	acetic acid	< 0.026	-	-
C ₂ H ₅ OH	ethanol	0.11–0.19	-	0.10 ^b
CH ₃ OCH ₃	dimethyl ether	< 0.025	-	-
CH ₃ COCH ₃	acetone	≤ 0.011	-	0.0047
C ₂ H ₅ CHO	propanal	-	-	-
CH ₂ CO	ketene	≤ 0.0078	-	-
N ₂	molecular nitrogen	(< 0.002 – 1000 from N ₂ ⁺) ^c	-	0.089 ± 0.024
NH ₃	ammonia	0.18–0.60	0.1–3.6	0.4 ^b
HCN	hydrogen cyanide	0.05–0.25	0.03–0.5	0.20 ^b
HNC	hydrogen isocyanide	0.0015–0.035	-	-
CH ₃ CN	methyl cyanide	0.008–0.054	-	0.0059
HC ₃ N	cianoacetylene	0.002–0.068	-	0.0004
HNCO	isocyanic acid	0.009–0.080	-	0.027
NH ₂ CHO	formamide	0.015–0.022	-	0.004
C ₂ H ₃ CN	vinyl cyanide	< 0.0027	-	-
C ₂ H ₅ CN	ethyl cyanide	< 0.0036	-	-
C ₂ N ₂	cyanogen	-	-	0.0004 ± 0.0002
H ₂ S	hydrogen sulphide	0.09–1.5	-	2.0 ^b
SO	sulphur monoxide	0.04–0.30	-	0.071
SO ₂	sulphur dioxide	0.03–0.23	-	0.127
CS	carbon monosulphide	0.03–0.20	-	-
CS ₂	carbon disulphide	-	-	0.02 ^b
OCS	carbonyl sulphide	0.05–0.40	0.04–0.40	0.07 ^b
H ₂ CS	thioformaldehyde	0.009–0.090	-	0.0027
S ₂	sulphur dimer	(0.001–0.25) ^c	-	0.002
NS	nitrogen sulphide	0.006–0.012	-	-
CH ₃ SH	methyl mercaptan	< 0.023	-	0.038
HF	hydrogen fluoride	0.018	-	0.003–0.048
HCl	hydrogen chloride	< 0.011	-	0.002–0.059
HBr	hydrogen bromide	-	-	0.00012–0.00083
PH ₃	phosphine	< 0.07	-	< 0.003
PN	phosphorus nitride	< 0.003	-	< 0.001
PO	phosphorus oxide	< 0.013	-	0.011
CH ₃ NH ₂	methylamine	< 0.055	-	-
NH ₂ CH ₂ COOH	glycine I	< 0.18	-	0.000017
Ar	argon	-	-	0.00058 ± 0.00022
Kr	krypton	-	-	0.000049 ± 0.000022
Xe	xenon	-	-	0.000024 ± 0.000011
O ₂	molecular oxygen	-	-	2.0 ^b

Diversas moléculas na coma

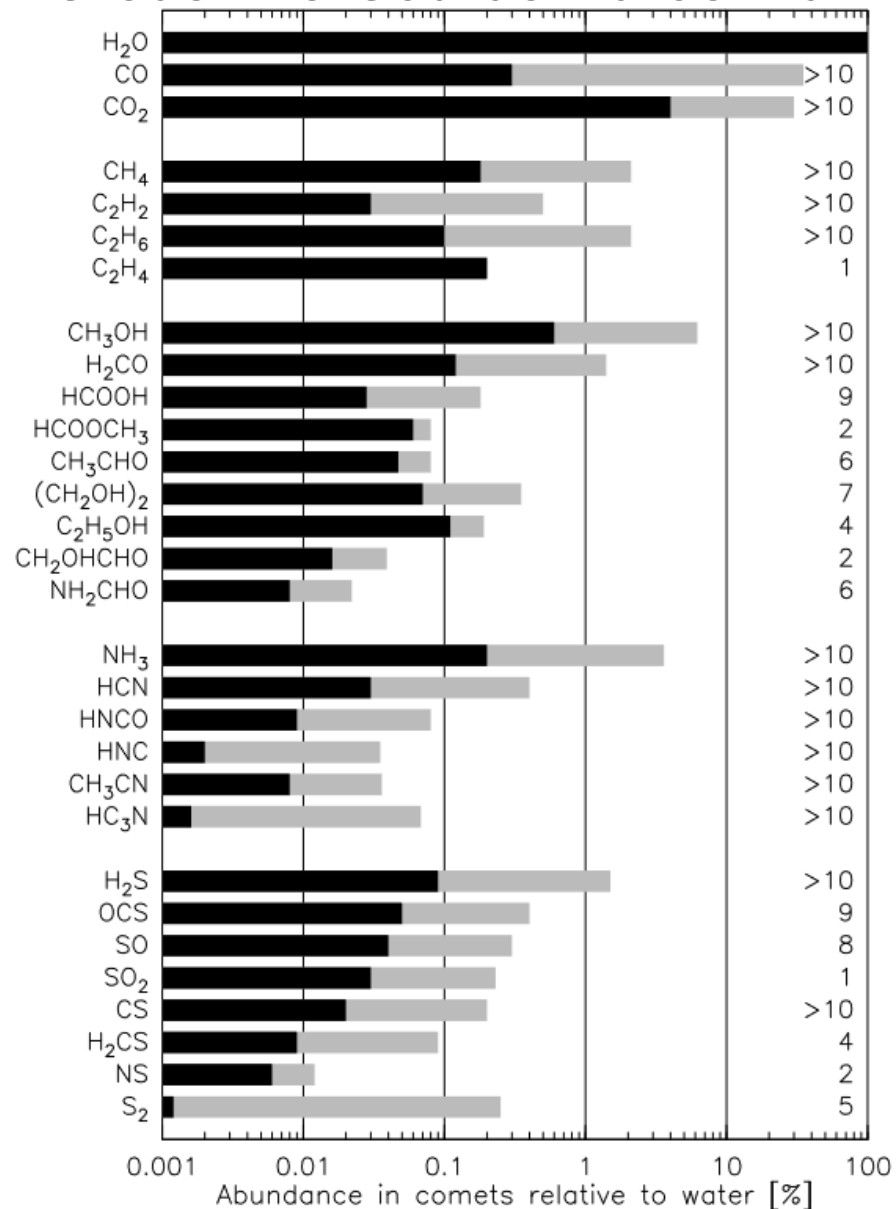
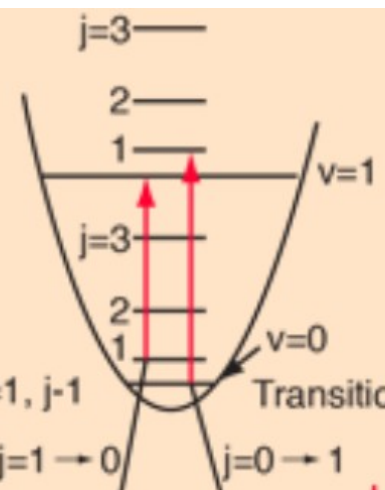


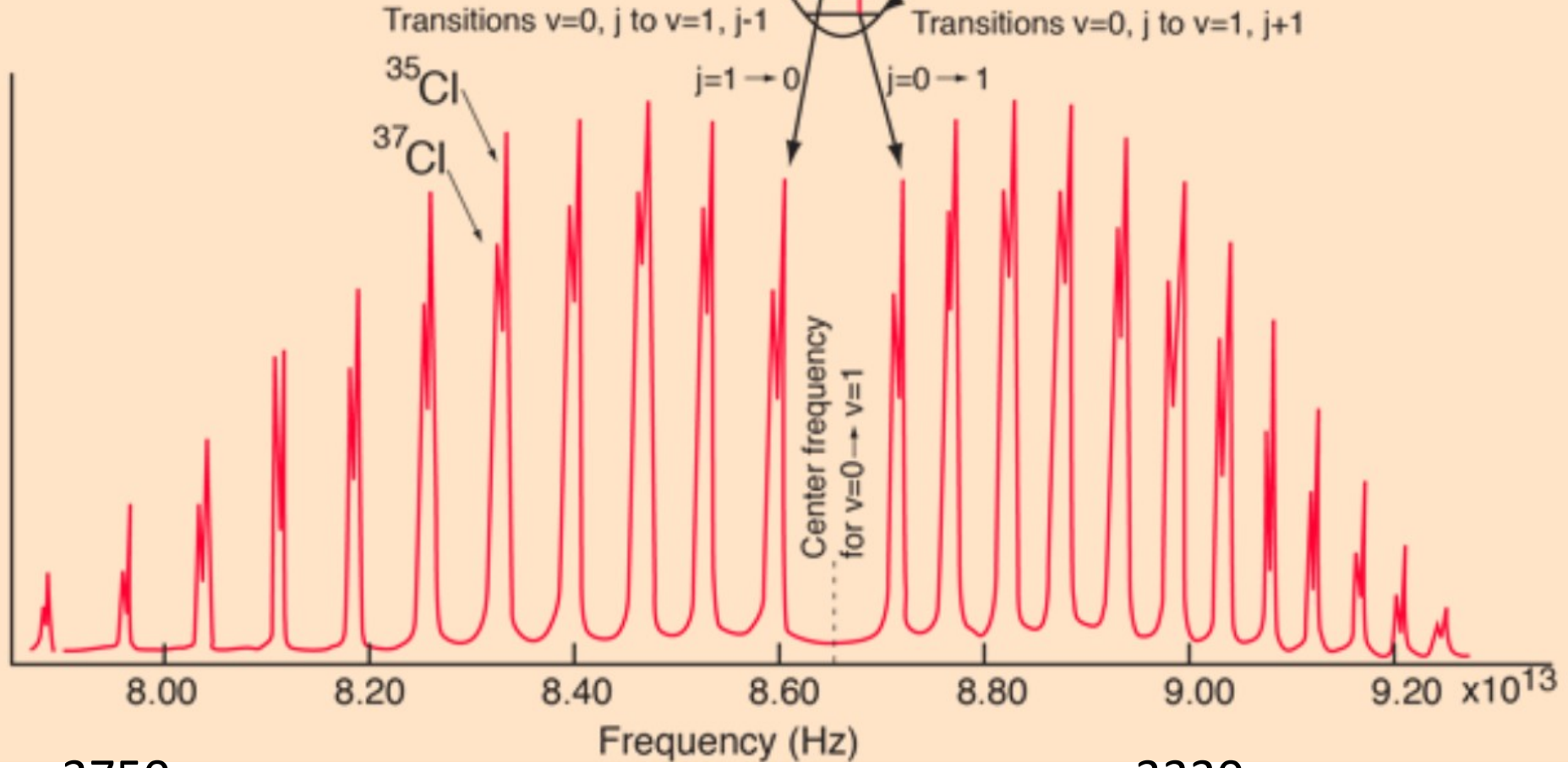
Fig. 9.— The range of abundances relative to water for the molecules observed remotely in cometary comae. The number of comets in which the molecule has been detected is indicated to the right (updated from [Bockelée-Morvan and Biver 2017](#)).

Vibration-Rotation Transitions

Transitions from the ground vibrational state to the first excited state of HCl with a change $\Delta j = \pm 1$ in rotational angular momentum.



Ex.: espectro vibro-rotacional de H^{35}Cl e H^{37}Cl da banda $v=0,1$ no *infrared*



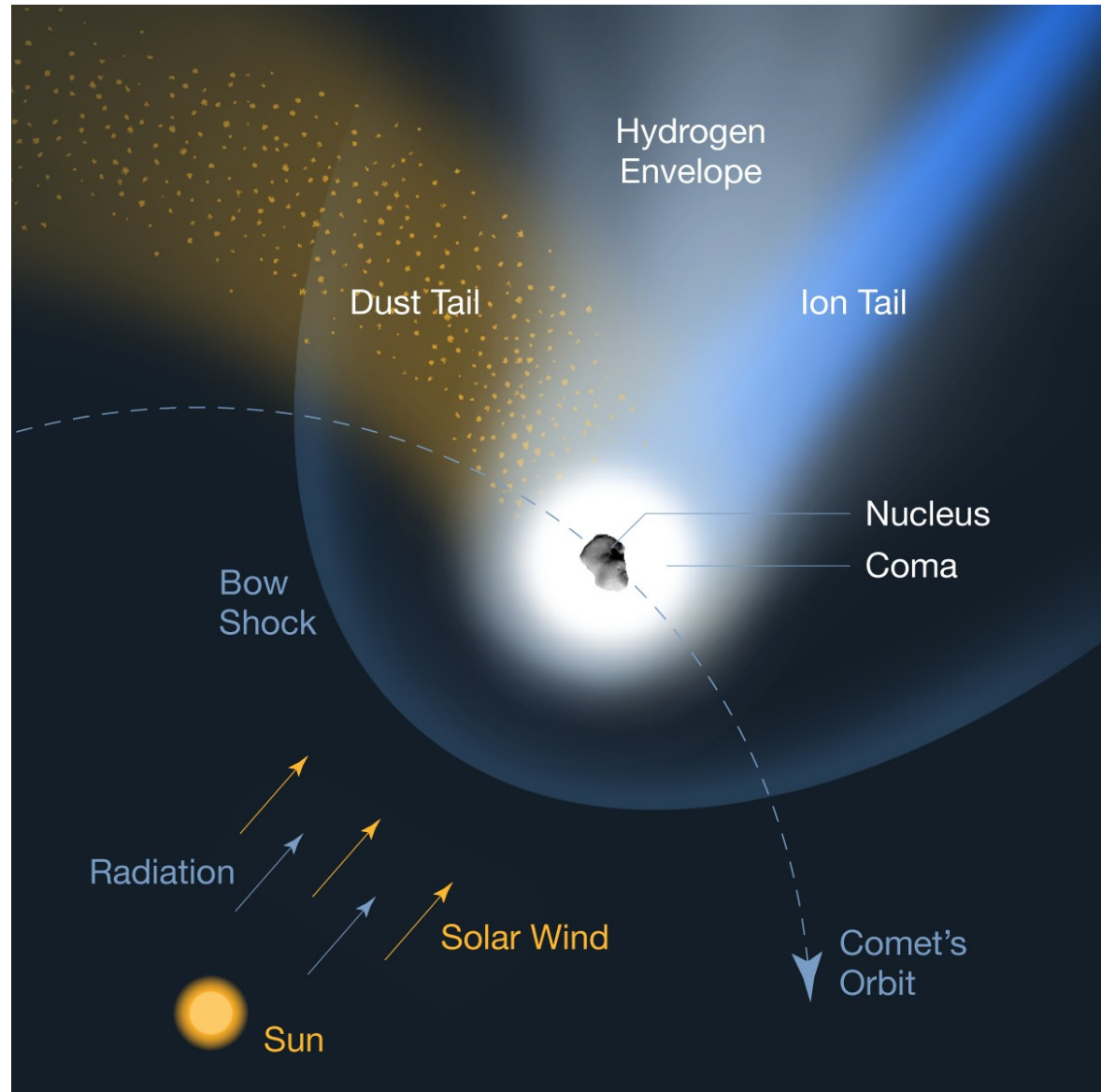
3750 nm

3330 nm

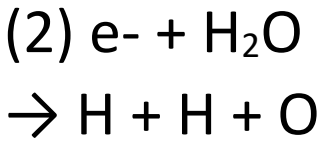
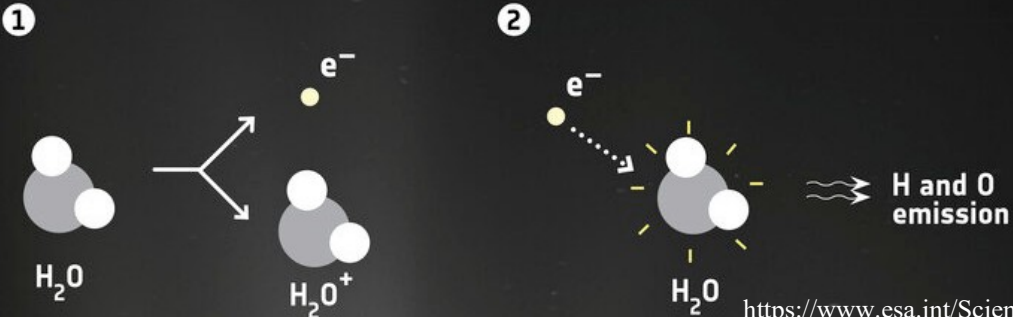
Envelope de hidrogênio

Ao se aproximar do Sol a molécula de água (H_2O) é quebrada, liberando átomos de hidrogênio energéticos, que formam um envelope de $\sim 10^7$ km.

Não observamos esse envelope da Terra, pois a emissão do hidrogênio em estado de alta energia acontece no UV extremo (121 nm), que é bloqueado pela camada de ozônio.

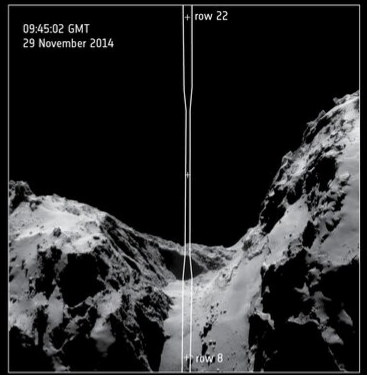


Envelope de hidrogênio: (1) fóton UV + H₂O → H₂O⁺ + e⁻



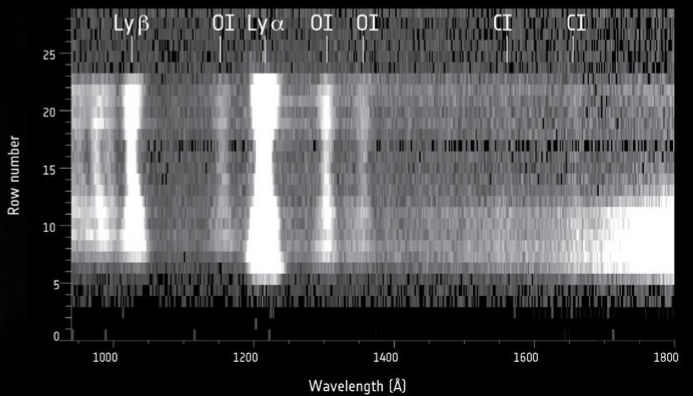
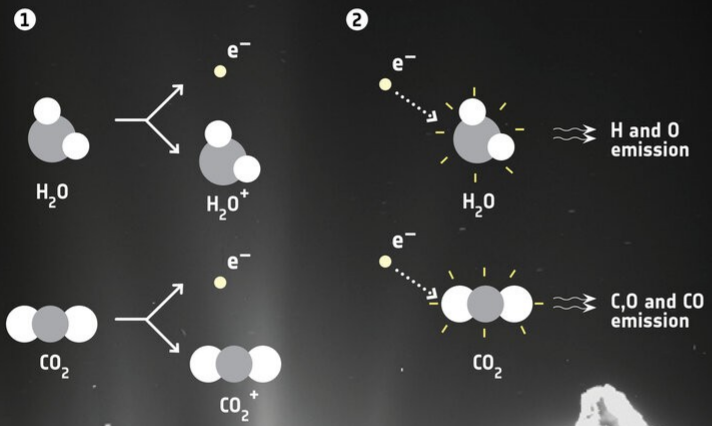
https://www.esa.int/Science_Exploration/Space_Science/Rosetta/Ultraviolet_study_reveals_surprises_in_comet_coma 

Rosetta's close study of Comet 67P/Churyumov–Gerasimenko at ultraviolet wavelengths has revealed that electrons and not photons are responsible for the rapid breakup of water and carbon dioxide molecules erupting from the surface.



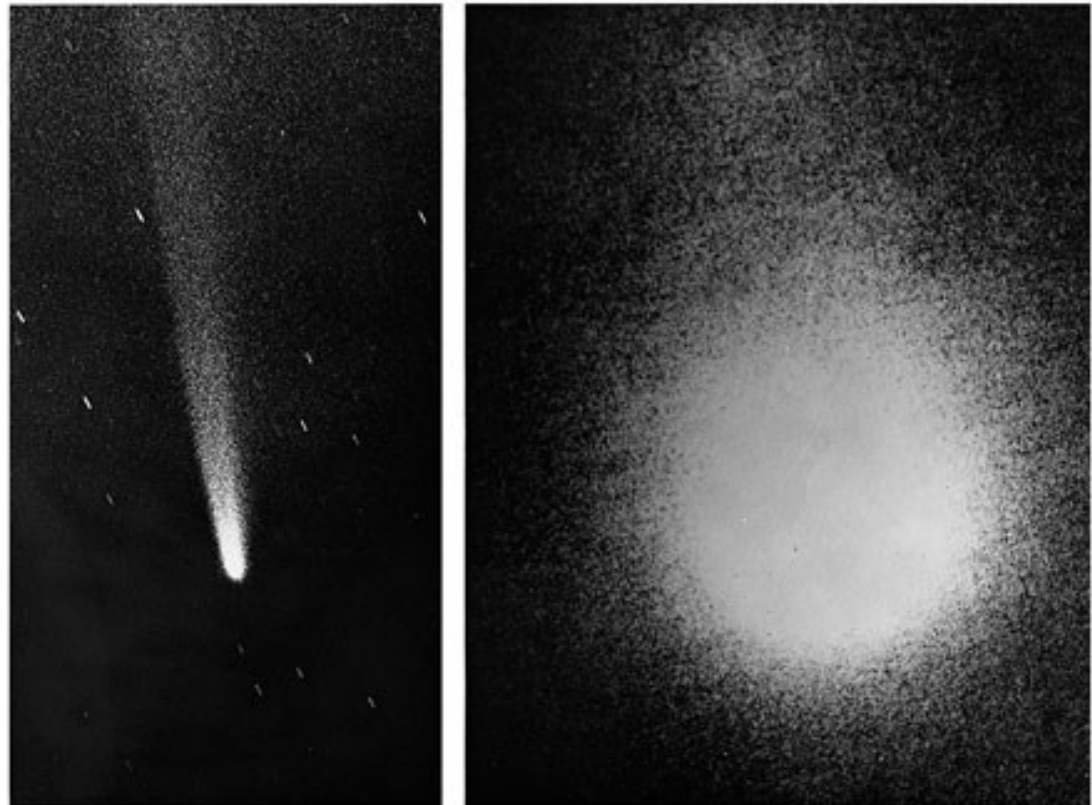
The data were collected between August and November 2014

Example of a spectral image (below) obtained by Alice for positions in the comet's coma indicated in the NavCam image (above). The emission by oxygen (OI) and carbon (CI) in the coma are indicated. The bright bands labelled Lyα and Lyβ are due to electron impact on H₂O.

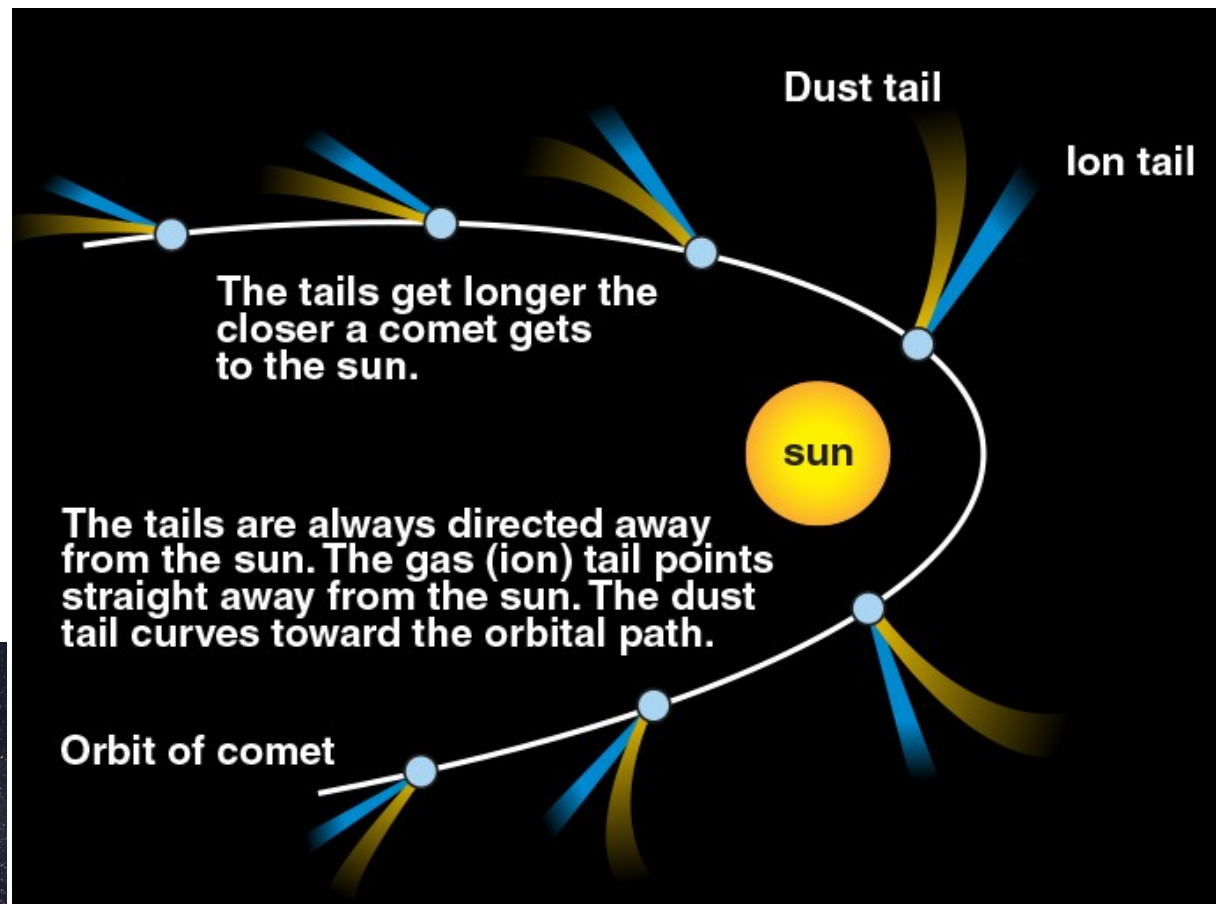


- 1 Solar photons ionise comet water and carbon dioxide molecules, producing electrons
- 2 Electrons impact other water and carbon dioxide molecules, creating emission detected by Alice

Comparação da imagem visível (esquerda) do cometa Kohoutek com uma imagem no ultravioleta extremo (direita) na mesma escala, tirada em 4 e 7 de janeiro de 1974. A imagem UV mostra um gigantesco **envoltório de hidrogênio** de 10^7 km, alimentado pelo núcleo do cometa a uma taxa de 5×10^{29} átomos de H por segundo. Esse imenso envoltório se deve a que os átomos de hidrogênio são muito mais leves que outras espécies. (c) Chet B. Opal, NRL.



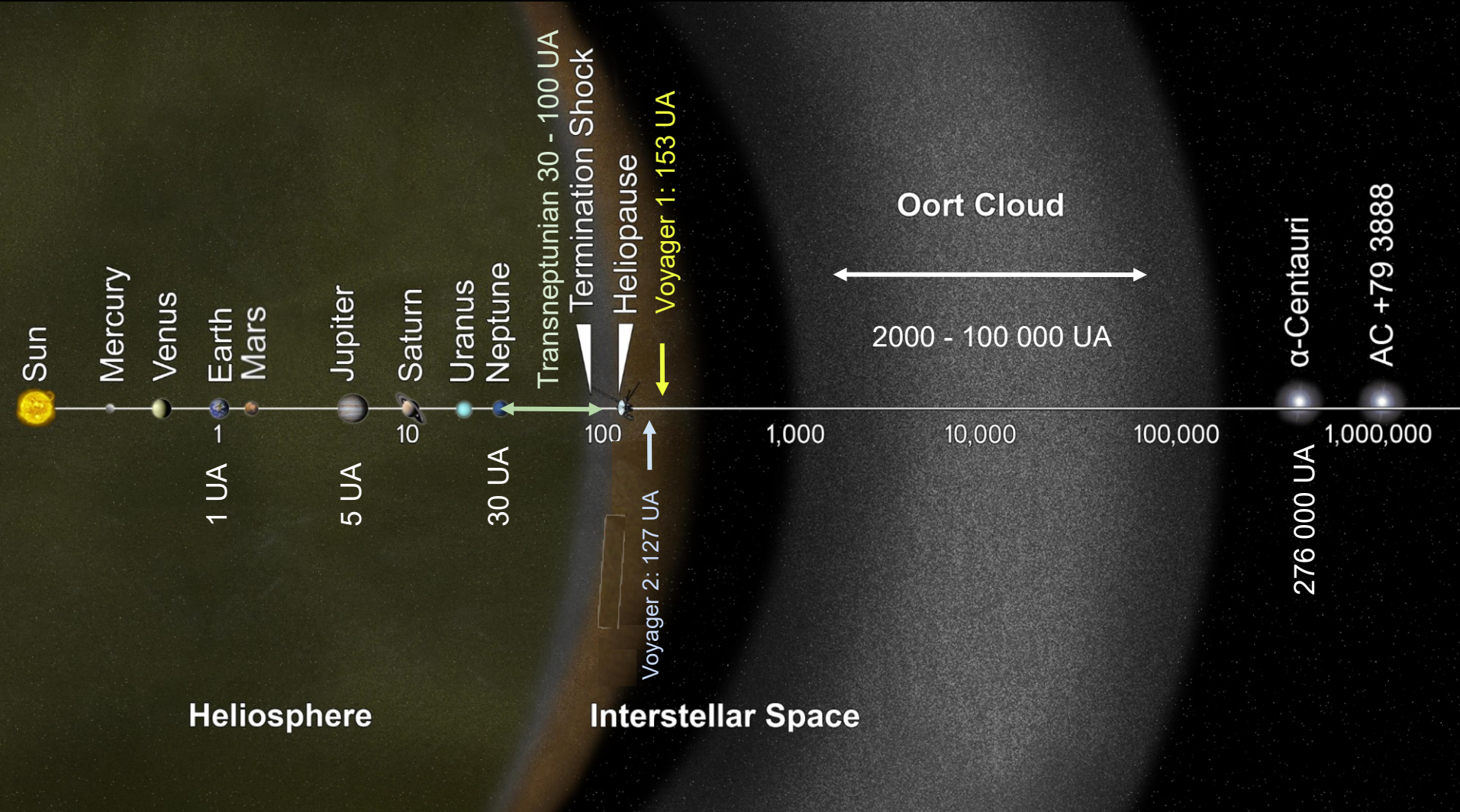
A uma distância de ~10UA do Sol o cometa começa a desenvolver a coma, e a ~5UA caudas começam a ser visíveis.



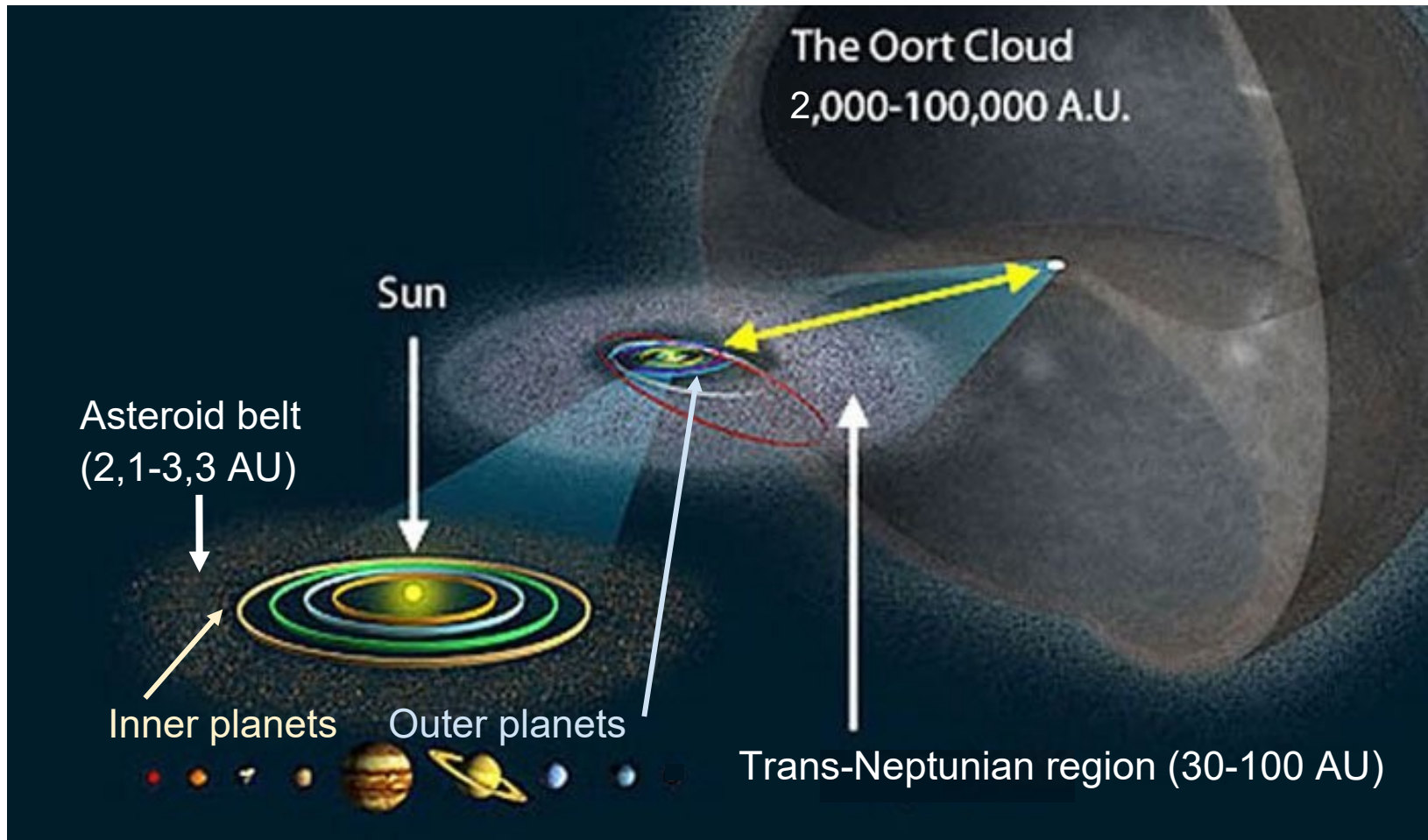
Cometa Hale-Bopp, em 14 de março de 1997.
(c) ESO/E. Slawik

Origem dos cometas: Região transnetuniana e Nuvem de Oort

Imagem fora de escala



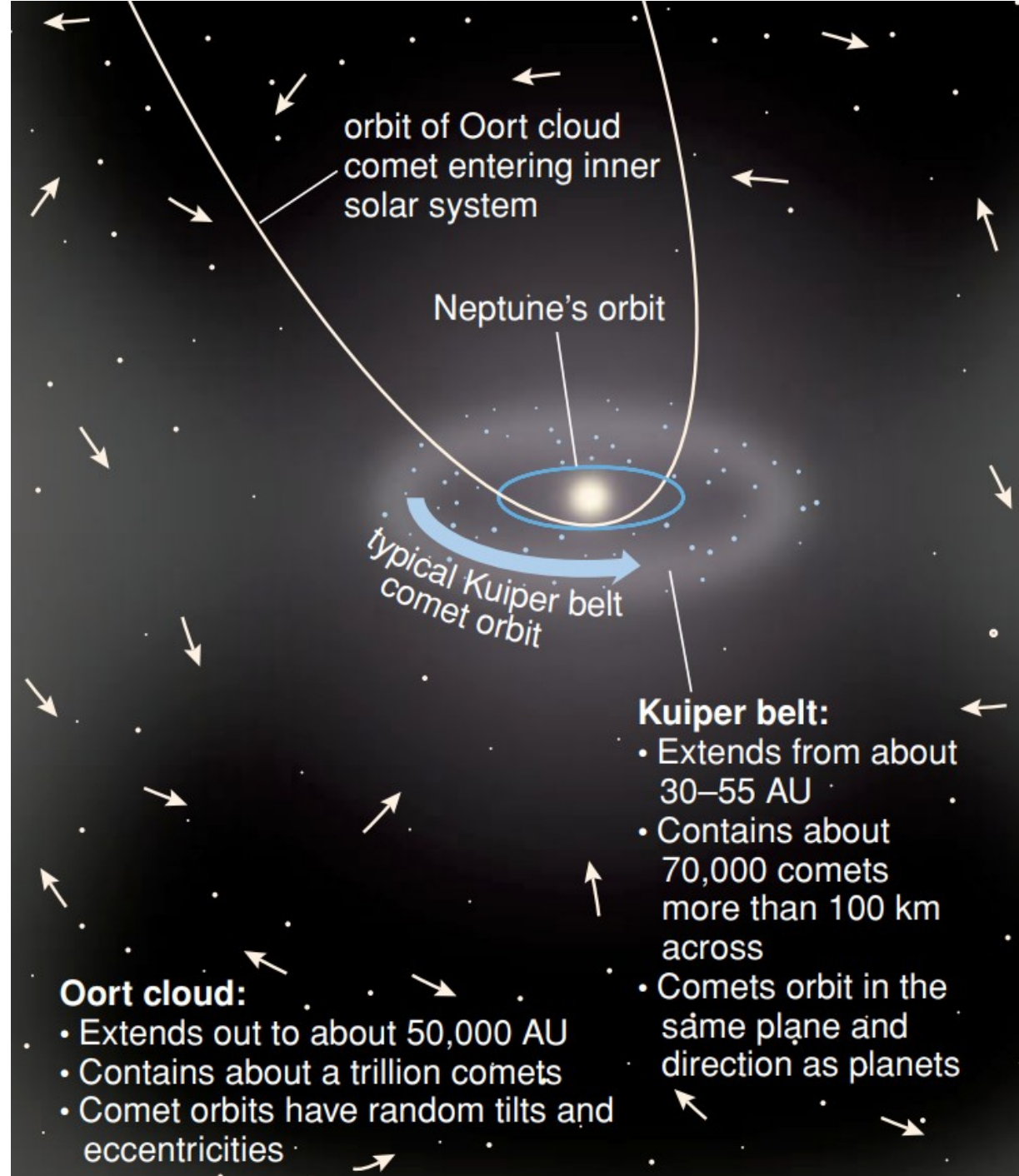
A nuvem de Oort consiste em planetesimais ($\sim 10^{12}$ corpos $> 1\text{km}$) rochosos e gelados lançados para fora pelos planetas gigantes (sobretudo Urano e Netuno, e em menor número por Júpiter), mas não rápido o suficiente para escapar do Sistema Solar. As órbitas foram randomizadas pela força de maré da Galáxia e a força gravitacional das estrelas e matéria interestelar.



Devido a perturbações, corpos gelados podem ser lançados para o Sistema Solar interno. Geralmente as órbitas dos cometas são bem elípticas.

Os transnetunianos (Cinturão de Kuiper) têm inclinação baixa a moderada, próximos ao plano do Sistema Solar.

Já os associados à Nuvem de Oort têm inclinações aleatórias.



Órbitas de cometas. As órbitas cometárias são geralmente elípticas e muito alongadas. Os cometas são classificados pelo período orbital em curto período (<200 anos) e longo período (≥ 200 anos).

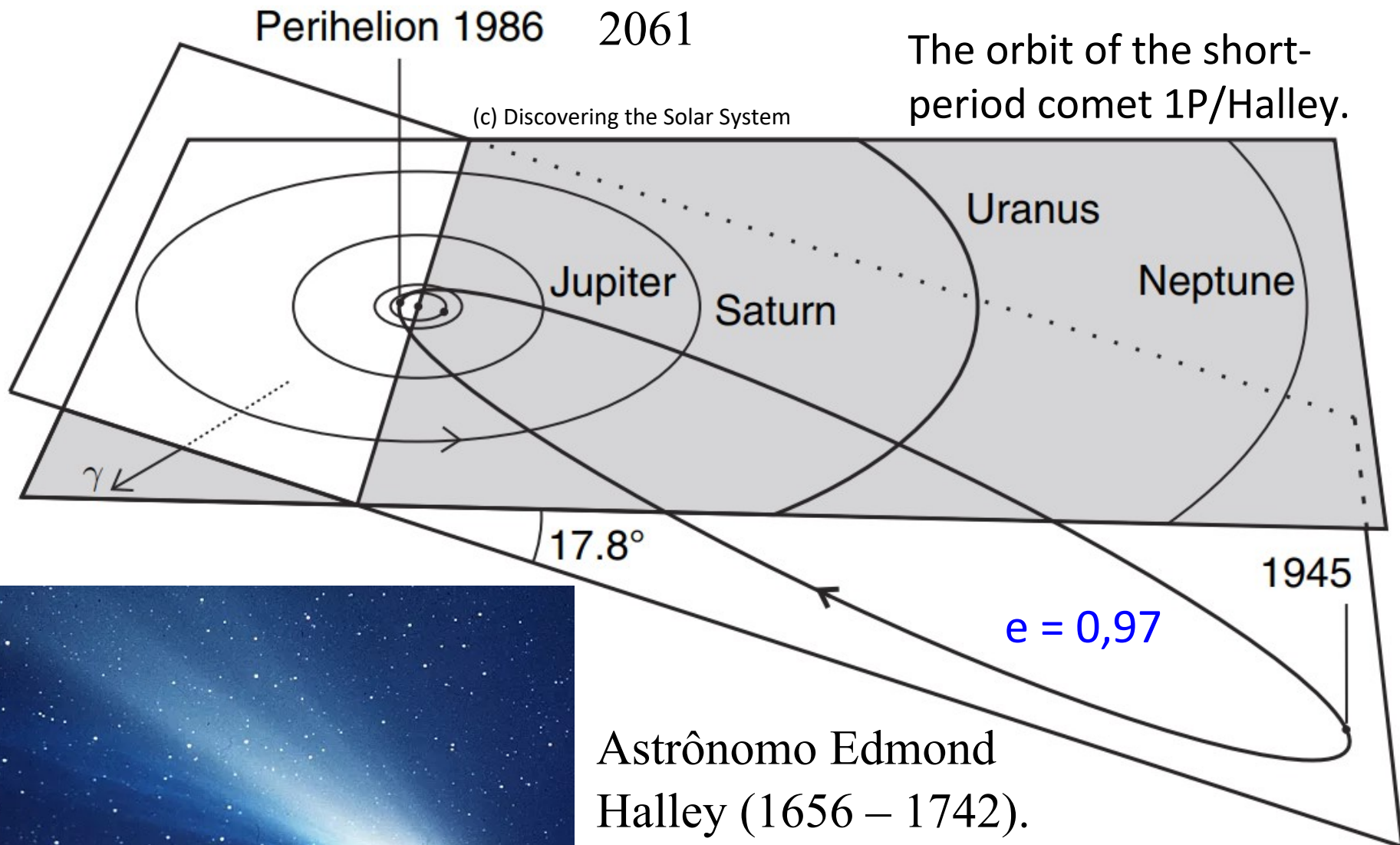
$P = 200$ anos, como $a = P^{2/3}$ (3ª lei de Kepler) $\rightarrow a = 34$ UA

Curto período (<200 anos). Boa parte tem $P < 15 - 20$ anos e são chamados **cometas da família de Júpiter**. As inclinações são $i < 35^\circ$ (mediana 11°). Cometas com $P = 15 - 20$ até 200 anos são **cometas tipo Halley**; as inclinações são maiores e às vezes são retrógradados.

Table 1.4 Some properties of selected comets

(c) Discovering the Solar System

Name	Some orbital properties						Associated meteor shower(s)	
	Semimajor axis/ AU	Sidereal period/ years	Eccentricity	Inclination/ °	Perihelion distance/ AU	Date, last perihelion passage		
<i>Short period</i>								
21P/Giacobini–Zinner	3.53	6.62	0.7057	31.81	1.0337	July 2005	Giacobinids	Oct
3D/Biela ^a	3.53	6.62	0.756	12.55	0.861	1852 (lost)	Andromedids	Nov
1P/Halley	17.94	75.98	0.9673	162.24	0.5871	Feb 1986	Eta Aquarids	May
109P/Swift–Tuttle	26.32	135.01	0.9636	113.43	0.9582	Dec 1992	Perseids	July–Aug
2P/Encke	2.22	3.30	0.8473	11.77	0.3385	Dec 2003	Taurids	Oct–Nov
36P/Whipple	4.17	8.51	0.2590	9.93	3.0882	July 2003	—	
29P/Schwassmann–Wachmann 1	5.99	14.65	0.0442	9.39	5.7236	July 2004	—	
39P/Oterma	7.24	19.49	0.2446	1.94	5.4707	Dec 2002	—	
23P/Brorsen–Metcalfé	17.07	70.53	0.9720	19.33	0.4789	Sept 1989	—	



Astrônomo Edmond
Halley (1656 – 1742).

Cometa 1531, 1607, 1682 → 1758

Halley's Comet taken in 1986. (c) NASA

“Nessa saudade que eu sinto
De tudo que eu ainda não vi”
R.R.

Saudade?
Ansiedade?
Nostalgia?
Melancolia?

Halley

1986, $m = +2,1$

2061, $m = -0,3$

2134, $m = -2$





Nossa existência é um mero piscar de olhos em escalas astronômicas

2/1986 ($m = +2,1$), 7/2061 ($m = -0,3$), 3/2134 ($m = -2$)

Data e (magnitude) no periélio. $P \sim 76$ anos (74,42 a 79,25)

Nascidos em 2054 poderão ver o Halley aos ~ 7 e ~ 80 anos!

Longo período (≥ 200 anos). Na maioria dos casos $P \gg 200$ anos, chegando até 10 milhões de anos ($a = 10^4$ UA).

Devido ao longo período, para a maioria só existe registro de 1 passagem. As inclinações são distribuídas aleatoriamente.

Cometa Hale-Bopp,
14 de março de 1997.
(c) ESO/E. Slawik



Table 1.4 Some properties of selected comets (c) Discovering the Solar System

Name	Some orbital properties					
	Semimajor axis/ AU	Sidereal period/ years	Eccentricity	Inclination/ °	Perihelion distance/ AU	Date, last perihelion passage
<i>Long period (bright)</i>						
C/1843 D1 Great Comet of 1843	640	16 000	0.99 99 914	114.35	0.005 527	1843
C/1858 L1 Donati	~ 150	~ 1700	0.99 6	116.96	0.578	1858
C/1956 R1 Arend–Roland	Large	Long	1.00 0	119.95	0.316	1957
C/1957 P1 Mrkos	Large	Long	0.99 9	93.94	0.355	1957
C/1962 C1 Seki–Lines	Large	Long	1.00 0	65.01	0.031 397	~ 1962/3
C/1965 S1 Ikeya–Seki ^b	92	880	0.999 915	141.86	0.007 786	1965
C/1969 Y1 Bennett	141.9	1690	0.996 210 6	90.04	0.537 606 3	1971
C/1973 E1 Kohoutek	—	—	1.000 007 9	14.30	0.142	1973
C/1975 V1 West ^c	—	—	> 1.000	43.07	0.197	1976
C1996 B2 Hyakutake ^d	923.8	2808	0.999 750 8	124.92	0.230 220 7	1996
C/1995 O1 Hale–Bopp ^d	185.3	2521	0.995 065 4	89.43	0.914 141 0	1997

Cometa Hale-Bopp, em 14 de março de 1997.

(c) ESO/E. Slawik

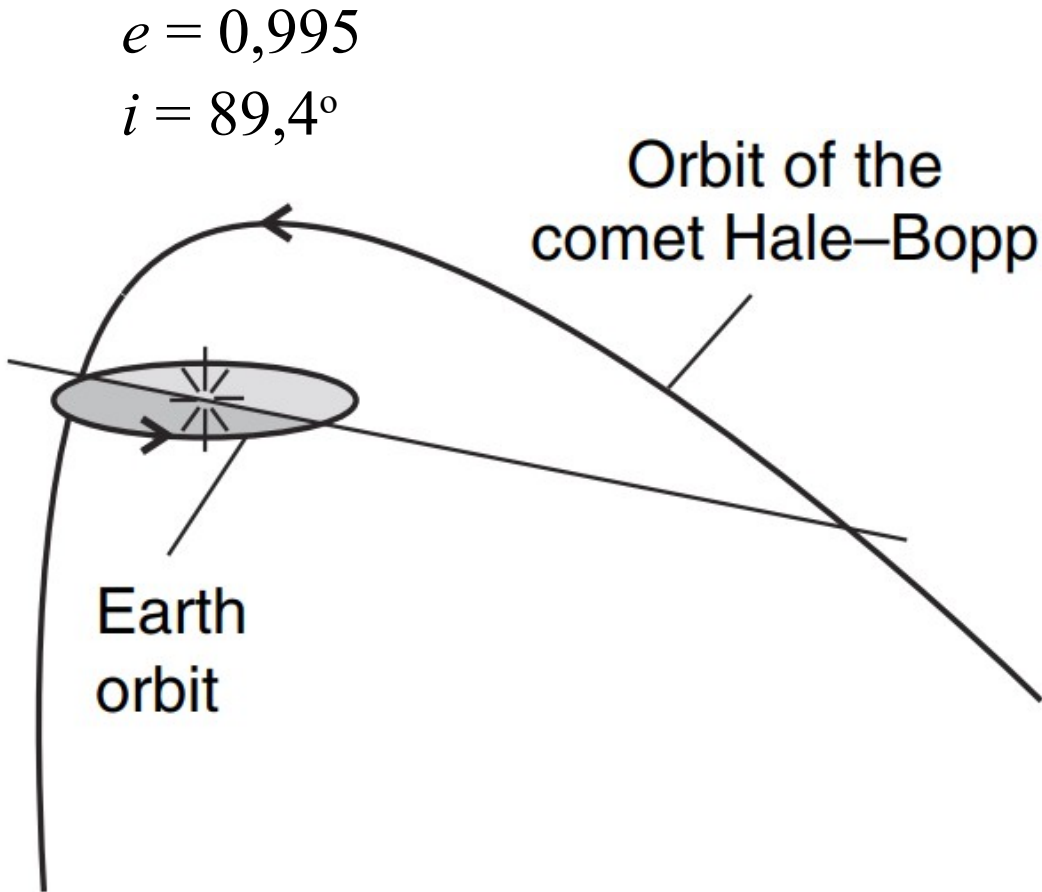


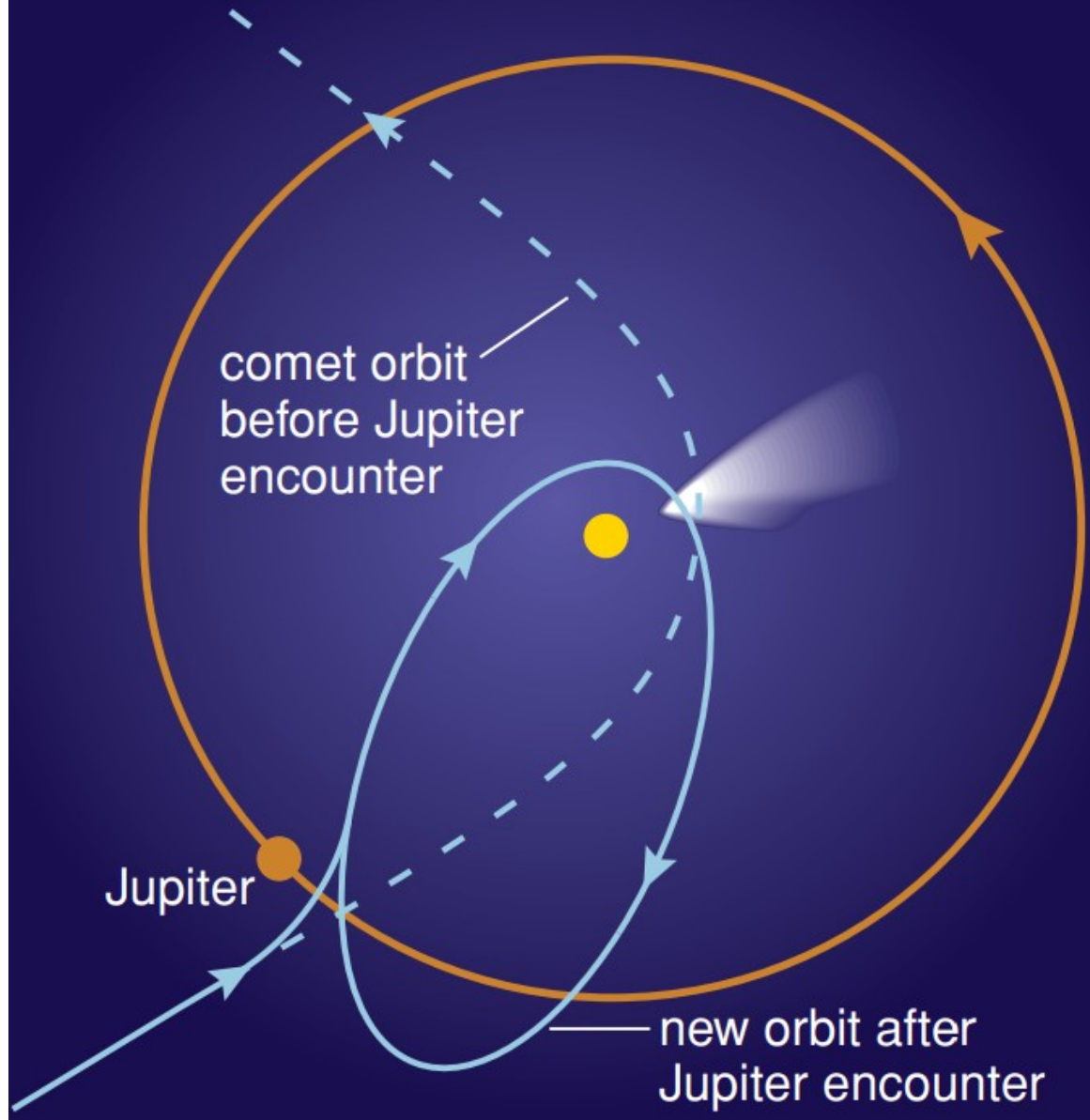
Figure 3.11 (a) The orbit of the long period comet Hale-Bopp in the inner Solar System.

(c) Discovering the Solar System

Órbitas de cometas podem mudar via intercâmbios de energia durante encontros gravitacionais.

A figura mostra um cometa em direção ao Sol. Ao passar perto de Júpiter, o cometa e Júpiter troquem energia.

O cometa perde tanta energia orbital que sua órbita muda de não-ligada para ligada (elíptica), se transformando em um cometa da família de Júpiter



Observações do núcleo do Halley pela sonda Giotto da ESA.

Gases ejetados do núcleo: 80% vapor H₂O, 17% CO, 3% CO₂, com vestígios de CH₄, NH₃ e hidrocarbonetos.

Poeira:

Silicatos e partículas
com misturas C-H-O-N

Comet Halley by ESA's Giotto spacecraft in 1986. Giotto obtained the first close-up images of a comet. This image was taken from a distance of ~2000 km from Comet Halley. The Sun is located towards the left of the image, provoking outbursts of gas & dust from the comet's nucleus.



Missão ESA: Rosseta + lander Philae 2014 / 2015
1ª a orbitar (Rosseta) e pousar (Philae) num cometa.
Lançada em 2004 e realizou tb estudos de outros corpos



6/8/2014: orbita cometa

12/11/2014: aterrisador Philae

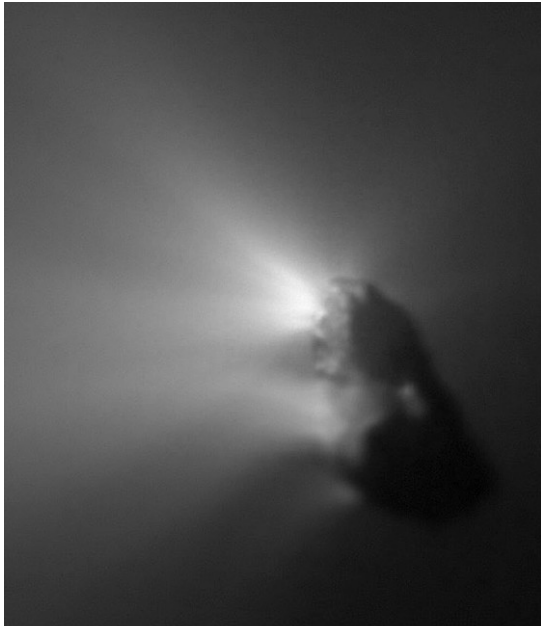
Cometa
67P/Churyumov-
Gerasimenko
Periélio 13/8/2015
 $P = 6,6$ anos
 $D = 4$ km



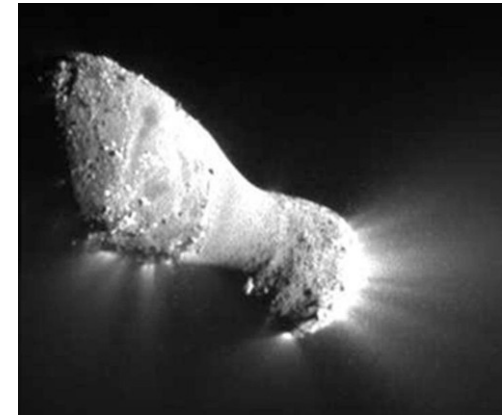
Ventos de cometas

- Ao se aproximar para o Sol (dentro de $\sim 5 - 10$ UA), os gelos do cometa se evaporam, deixando para trás um resíduo de grãos de poeira sem gelo, que vai criando uma crosta, acima dos grãos de poeira com gelo. Essa crosta é quebrada por ventos que expõem material para formar a coma e a cauda. Os ventos tendem a se ativar na parte de frente para o Sol, e desligam quando o cometa se afasta.

Cometa Halley, 8x15 km
ESA, 14/3/1986



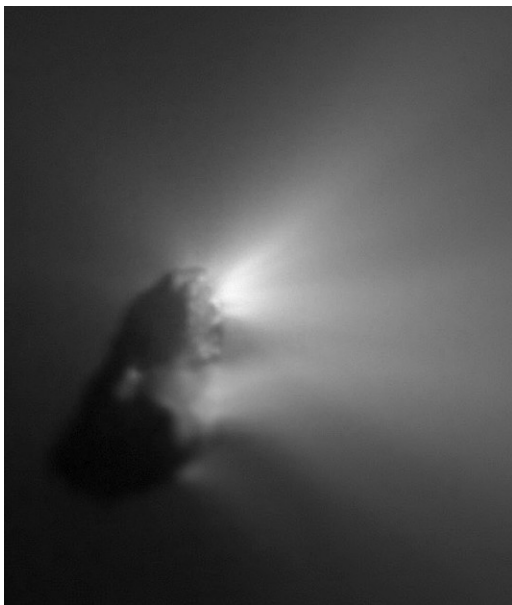
Cometa 67P/Churyumov-Gerasimenko,
4x3x2 km. ESA/Rosetta, 10/9/2014



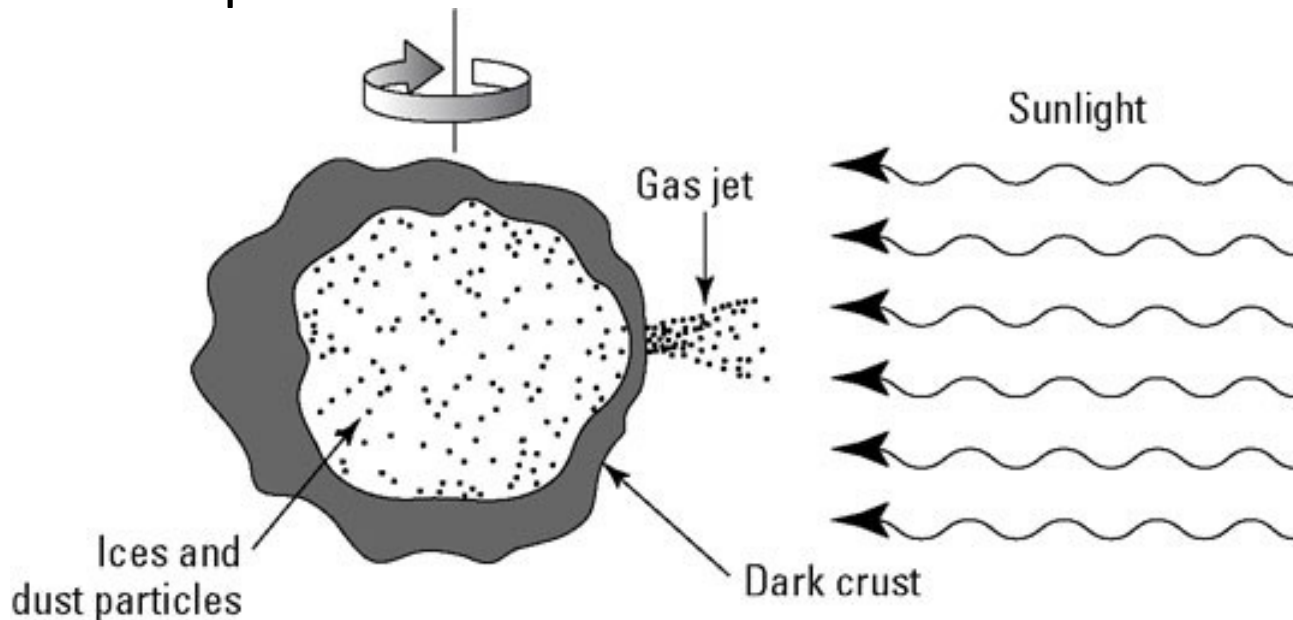
Cometa 103 P/Hartley,
0,7x 2,3 km
EPOXI / NASA, 3/11/2010

“Morte” de cometas

- O cometa pode “morrer”, no sentido de deixar de apresentar atividade e virar apenas uma rocha gelada, se perder o seu material volátil durante aproximações à região interna do Sistema Solar.
- Se o periélio for ~ 1 UA \rightarrow ~ 100 passagens de periélio podem evaporar o gelo do cometa, deixando-o com uma crosta tão espessa que o núcleo já não tem a capacidade de desenvolver coma e cauda.

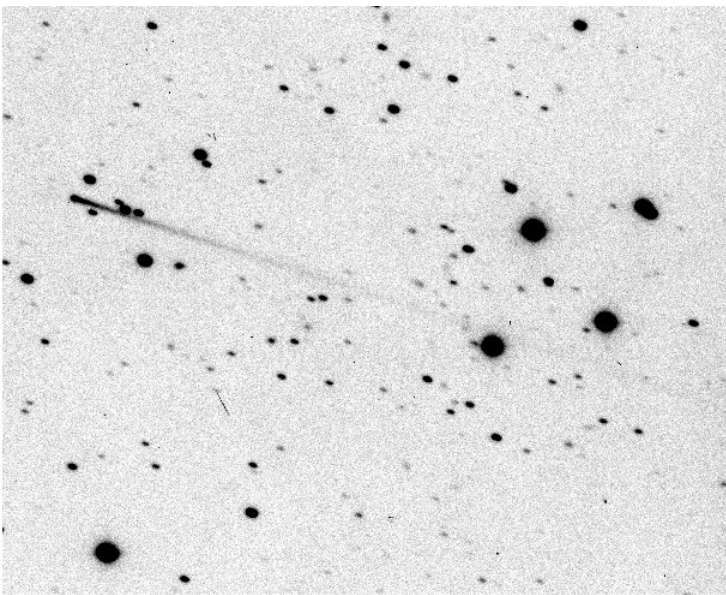


Núcleo do cometa Halley

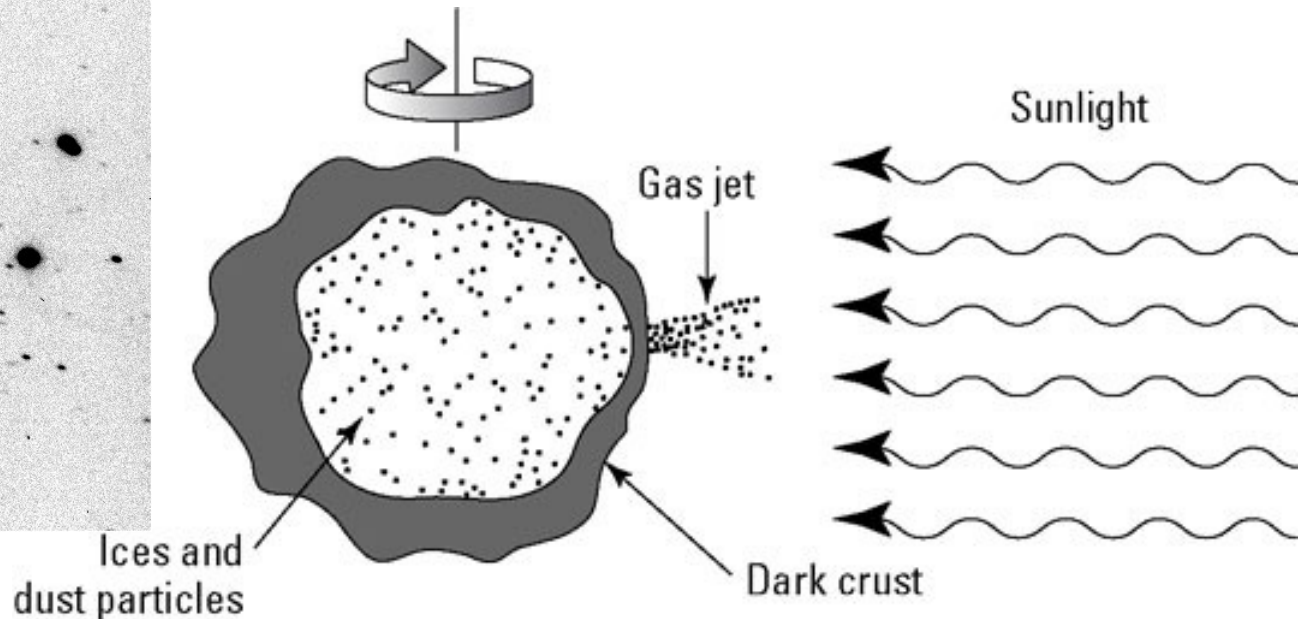


“Morte” de cometas

- Os cometas menores podem perder todo seu material volátil até o centro → cometa pode virar apenas restos de poeira.
- De acordo a modelos, a perda de voláteis em núcleos < 1 km, perdem o material volátil tão rapidamente que podem explodir.
- Em outros casos, a transição para poeira pode ser menos dramática
- Cometa Elst-Pizarro pode estar nas fases finais de atividade cometária

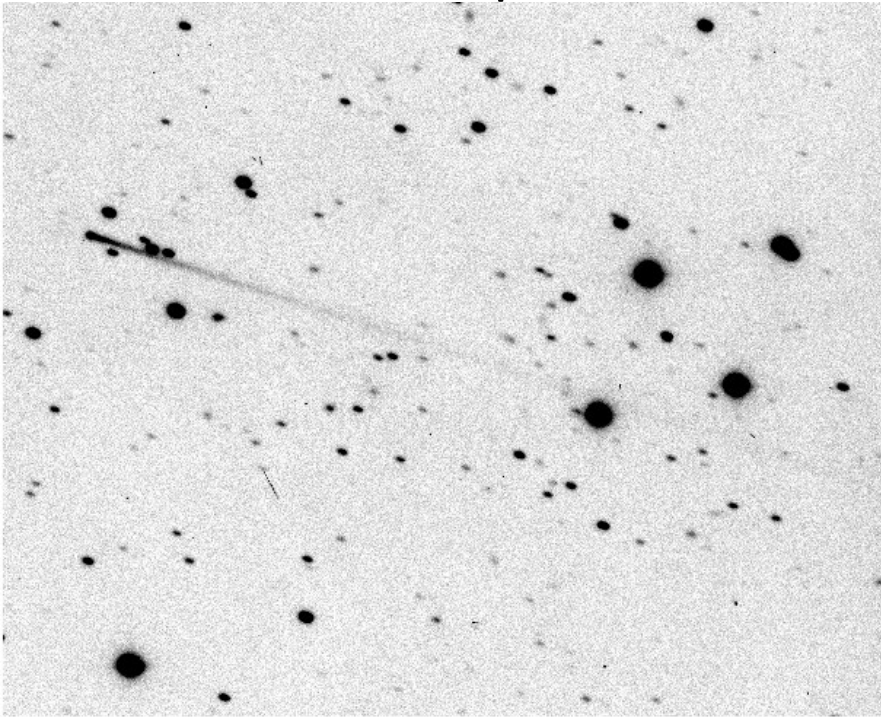


Asteroide/cometa 7968
Elst-Pizarro, 8/1996, ESO



Restos de cometas

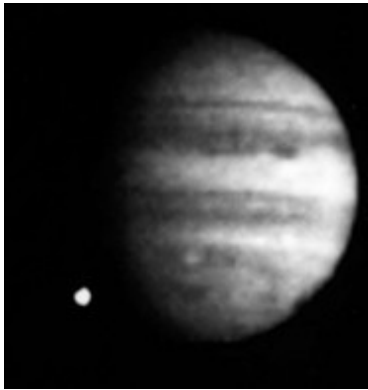
- O cometa Elst-Pizarro é considerado também um asteroide.
- Alguns asteroides, em particular da classe C e D, podem ser os restos de cometas que perderam seu material volátil
- Algumas luas de planetas gigantes, em particular aquelas com órbitas inusuais, podem ser remanescentes de cometa capturados



- Os núcleos de cometas não apenas perdem voláteis, mas também poeira, deixando um rastro de poeira nas suas órbitas

Asteroide/cometa 7968
Elst-Pizarro, 8/1996, ESO

- Cometas também morrem devido a colisões com planetas ou o Sol
- De 16 a 22/7/1994, fragmentos do cometa Shoemaker-Levy 9 colidiram com Júpiter



Sonda Galileo flagrou 1 dos impactos em 22/7/1994

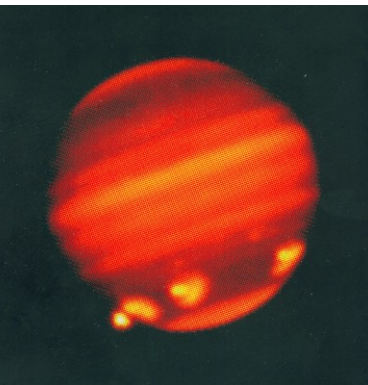
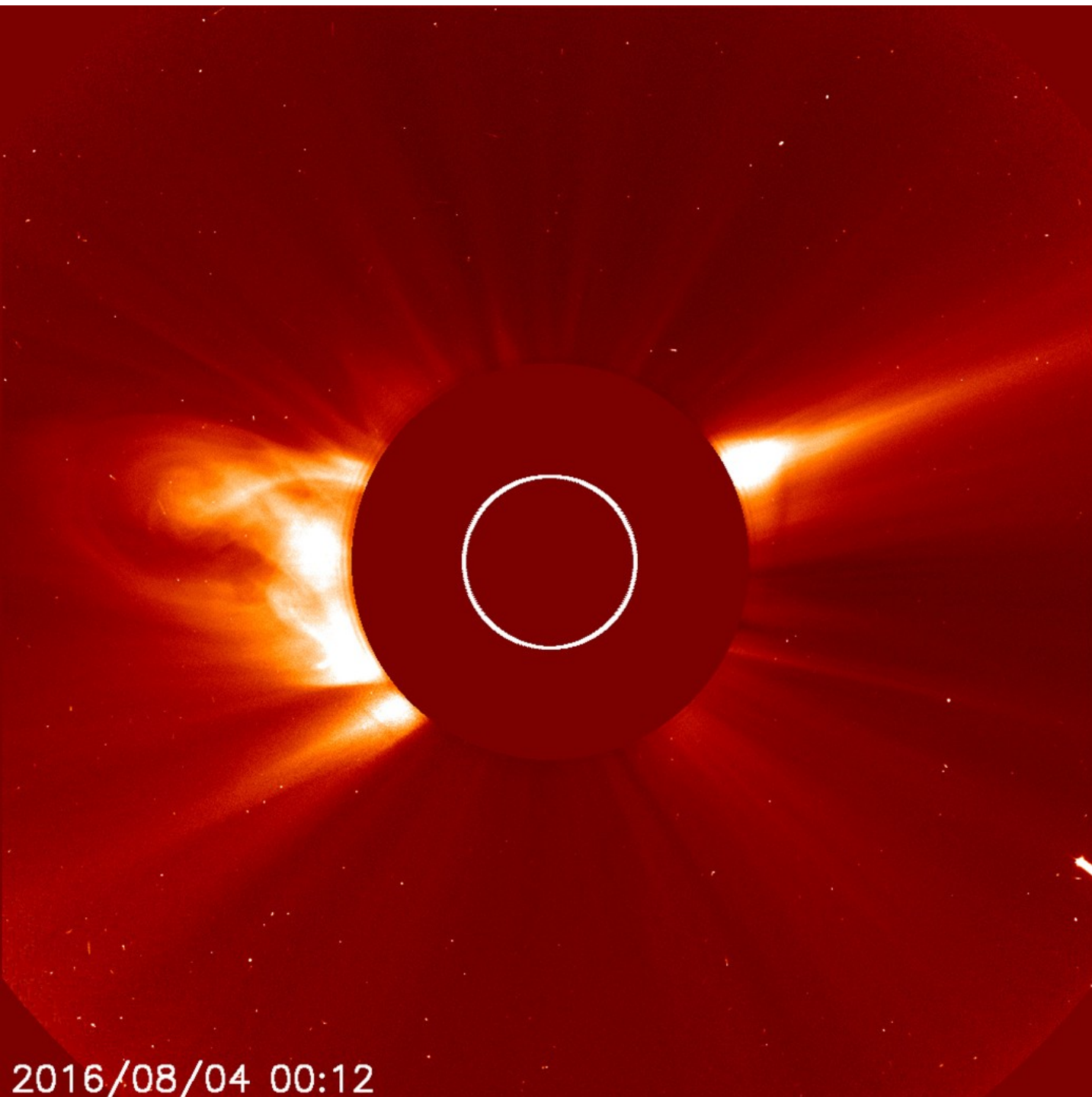


Imagem a partir de Calar Alto no infravermelho, no 20/7/1994, mostrando impacto e regiões quentes após impactos



Imagem composta (Hubble) de Júpiter e o cometa Shoemaker-Levy 9 em rumo de colisão



Registro do observatório SOHO/NASA, de cometa rasante destruído em 4 de agosto de 2016, ao se aproximar demais ao Sol

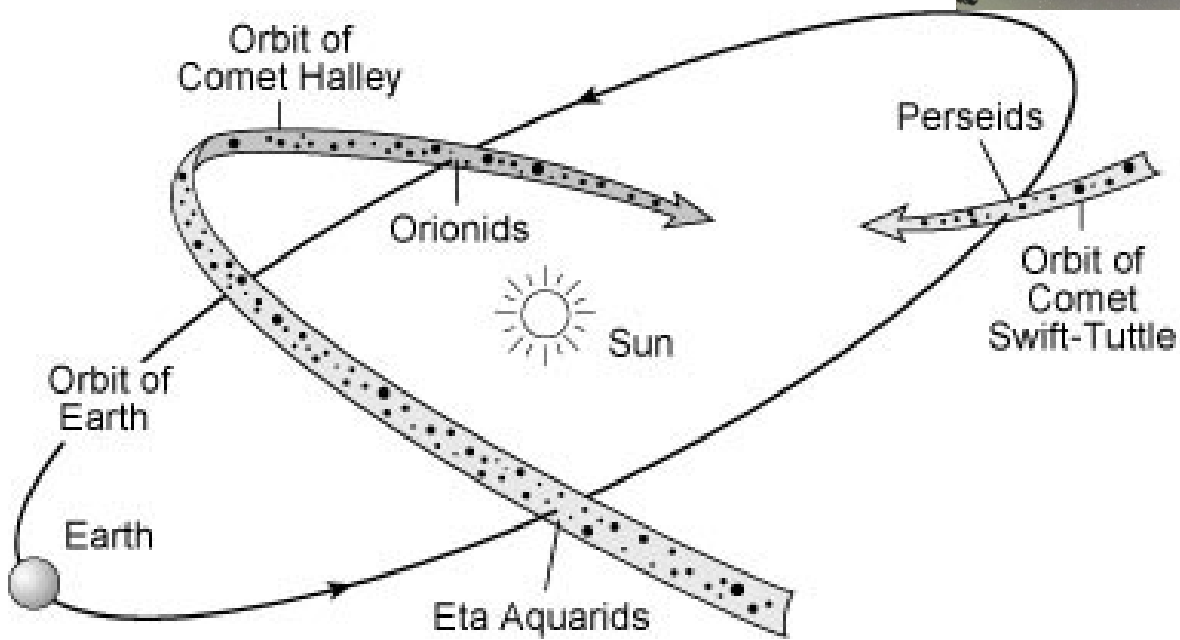
2016/08/04 00:12

Imagem
composta de
chuva de
meteoros
Gemínidas sobre
o Observatório
Xinglong.
É possível
observar um
meteoro “bola
de fogo”.

(c) Steed Yu,
12/2015



Imagem composta de chuva de meteoros
Perseidas sobre a vila de Vrchteplá,
Eslováquia. (c) Petr Horálek 8/2016



As principais chuvas de meteoros

Table 9.1 *Major Annual Meteor Showers*

Shower Name	Approximate Date	Associated Comet
Quadrantids	January 3	? comet C/1490 Y1?
Lyrids	April 22	Thatcher
Eta Aquarids	May 5	Halley
Southern Delta Aquarids	July 28	? 96P/Macholtz
Perseids	August 12	Swift–Tuttle
Orionids	October 22	Halley
Taurids	November 3 ^{Oct 11} _{Nov 12}	Encke
Leonids	November 17	Tempel–Tuttle
Geminids	December 14	Phaeton (Apollo asteroid)
Ursids	December 23	Tuttle

comet C/1490 Y1

= NEO (Amor) 2003 EH₁?

(cometa extinto observado em 1490?)

Objetos interestelares (cometas ou asteroides) visitantes do Sistema Solar

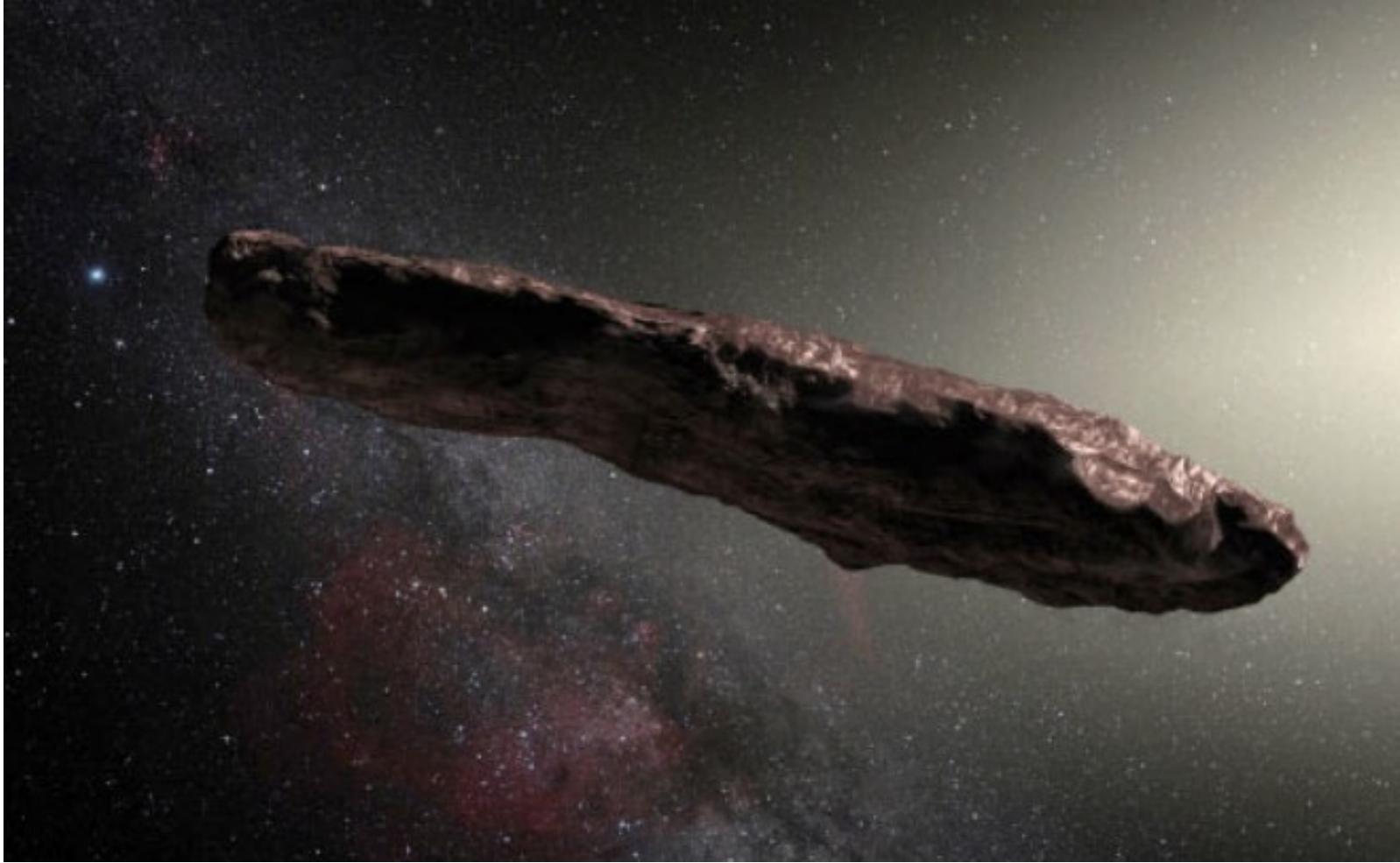


Imagem artística do cometa (ou asteroide) visitante interestelar
1I/'Oumuamua

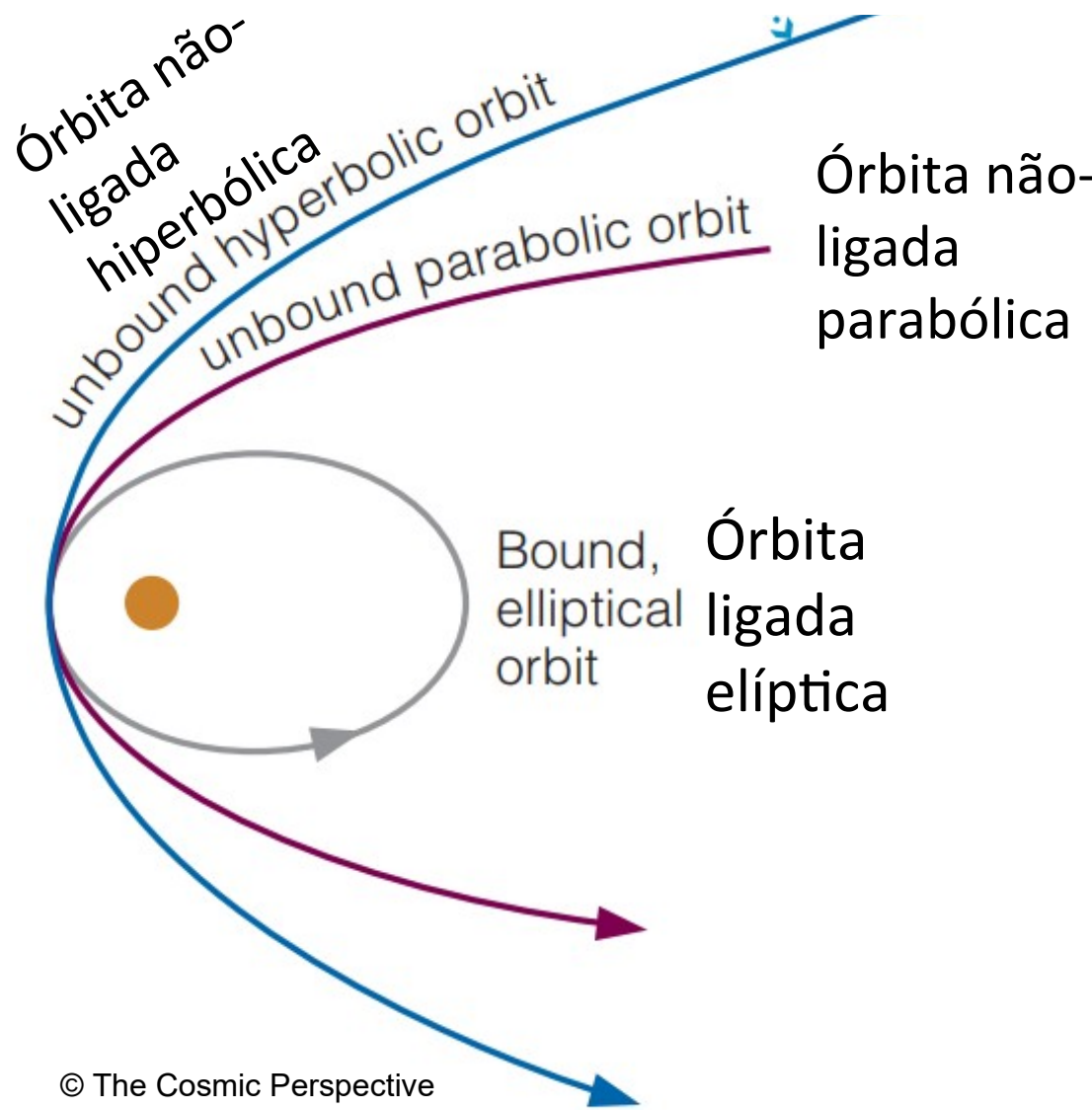
$0 \leq e < 1$ (elipse) $\Rightarrow E < 0$ (corpo gravitacionalmente preso)

$e = 1$ (parábola) $\Rightarrow E = 0$ (corpo gravitacionalmente solto)

$e > 1$ (hipérbole) $\Rightarrow E > 0$ (corpo gravitacionalmente ejetado)

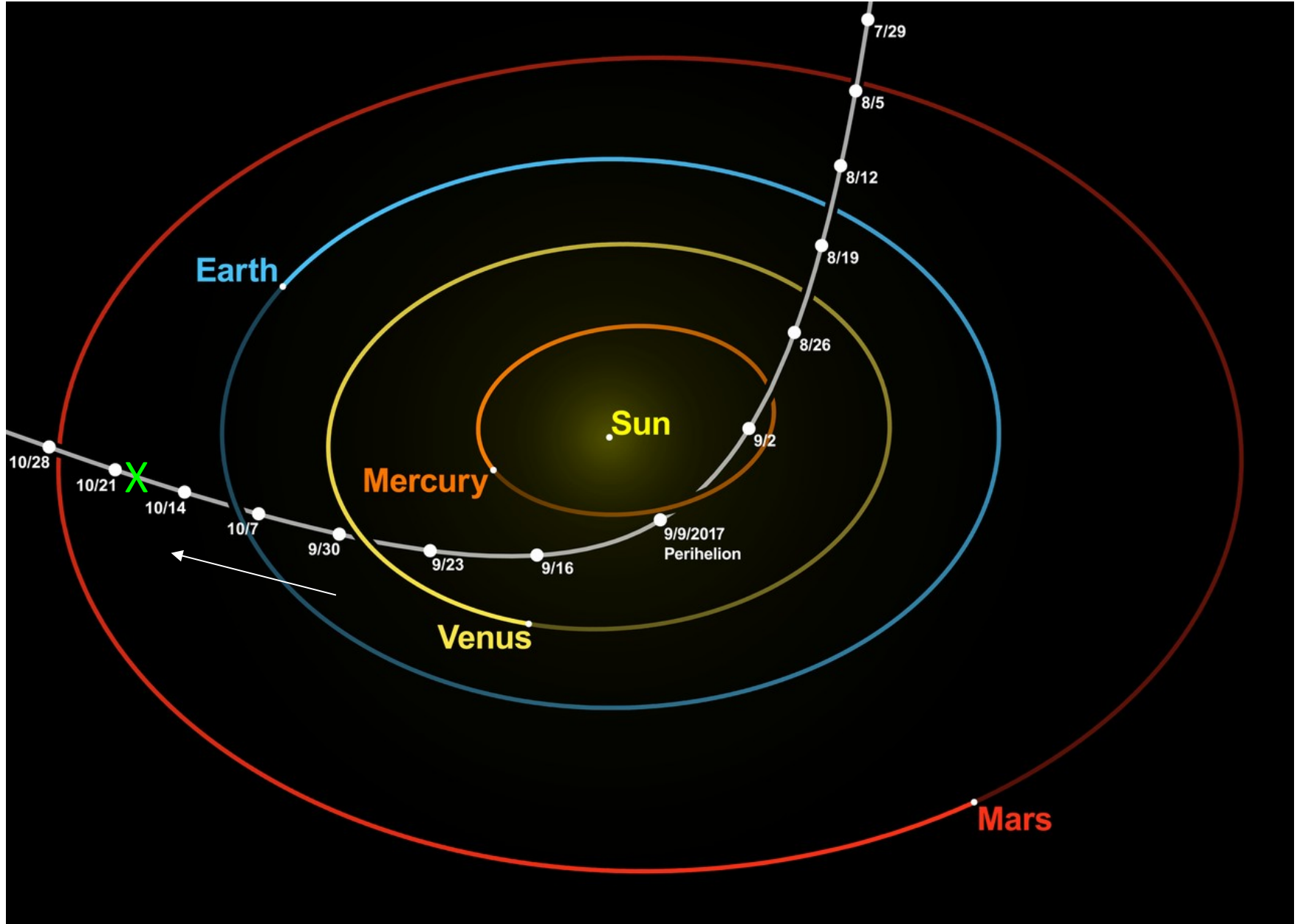
$$E = E_C(r) + E_P(r)$$

Órbitas com excentricidade significativamente maior que $e = 1$ (p.ex., $e = 1,2$) não são ligados ao Sistema Solar, mas de origem interestelar



Objeto Interestelar 1I/'Oumuamua: $e = 1,20$

A descoberta (19/10/2017) foi ~ 40 dias após passar pelo periélio



Primeiro asteroide/cometa interestelar: 1I/'Oumuamua

- Inicialmente classificado como cometa, mas após 1 semana foi classificado como asteroide, devido à ausência de coma.
- Atualmente não é classificado como cometa ou asteroide, apenas como objeto interestelar (nome 1I) pela alta excentricidade ($e = 1,20$)
- Apresentou aceleração talvez devido a jato cometário → pode ser o remanescente de um cometa, já quase sem atividade

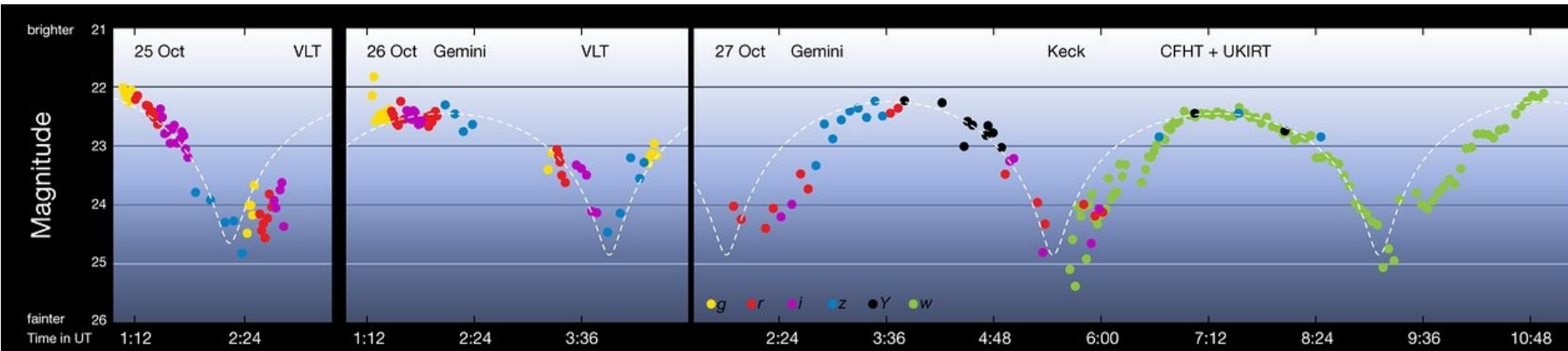


Oumuamua: em havaiano significa "um mensageiro de longe que chega primeiro"

Imagem artística do cometa (ou asteroide) visitante interestelar 1I/'Oumuamua

Grandes variações na curva de luz (2,5 mag)

→ objeto alongado



<https://www.eso.org/public/images/eso1737f/>

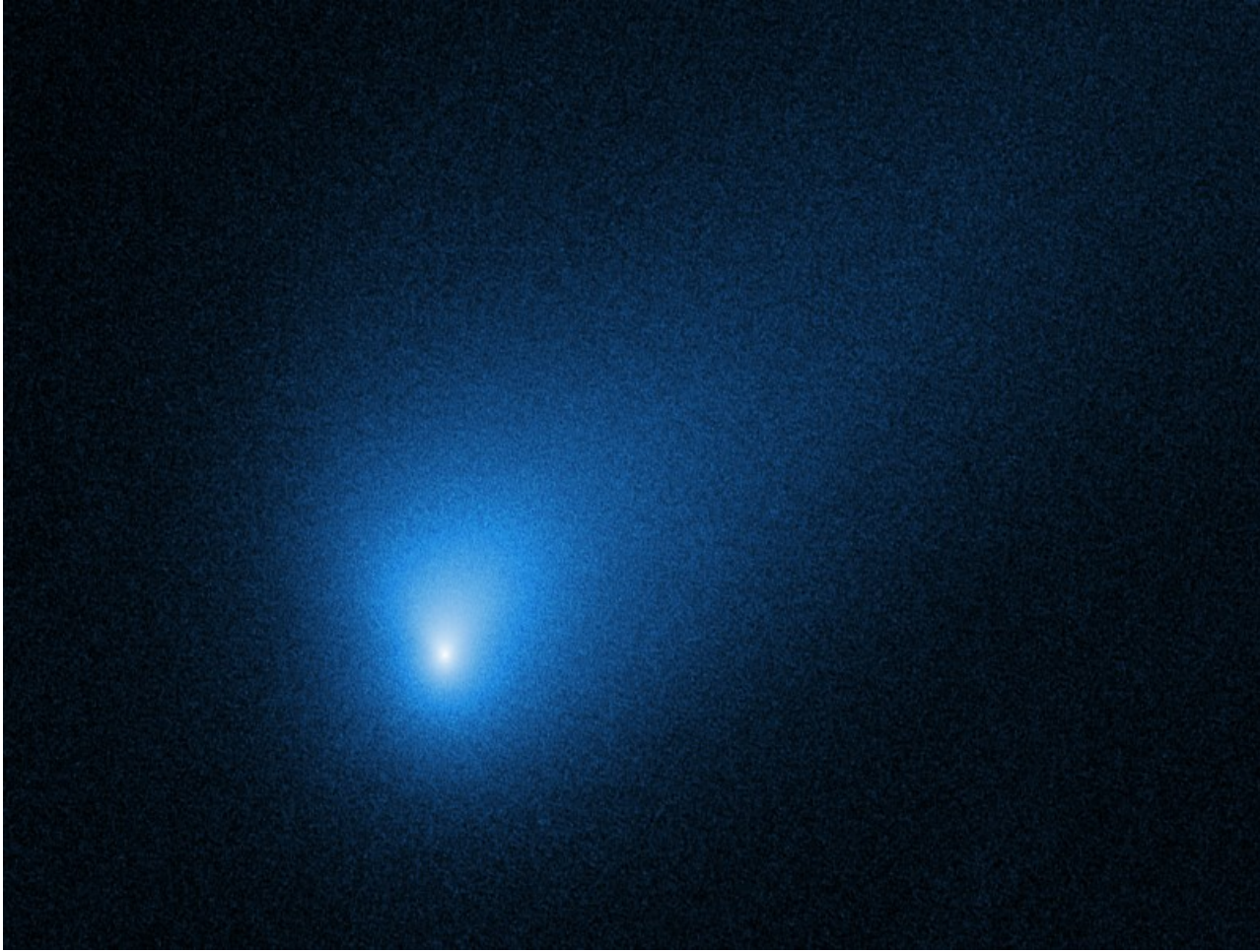
- Comprimento de 100 a 1000 m. Largura de 35 a 167 m



Razão comprimento:largura
entre 5:1 e 10:1 (talvez 6:1 ?)

Não temos estimativa exata,
talvez 230 x 35 x 35 m?

Cometa Interestelar 2I/Borisov: $e = 3,36$

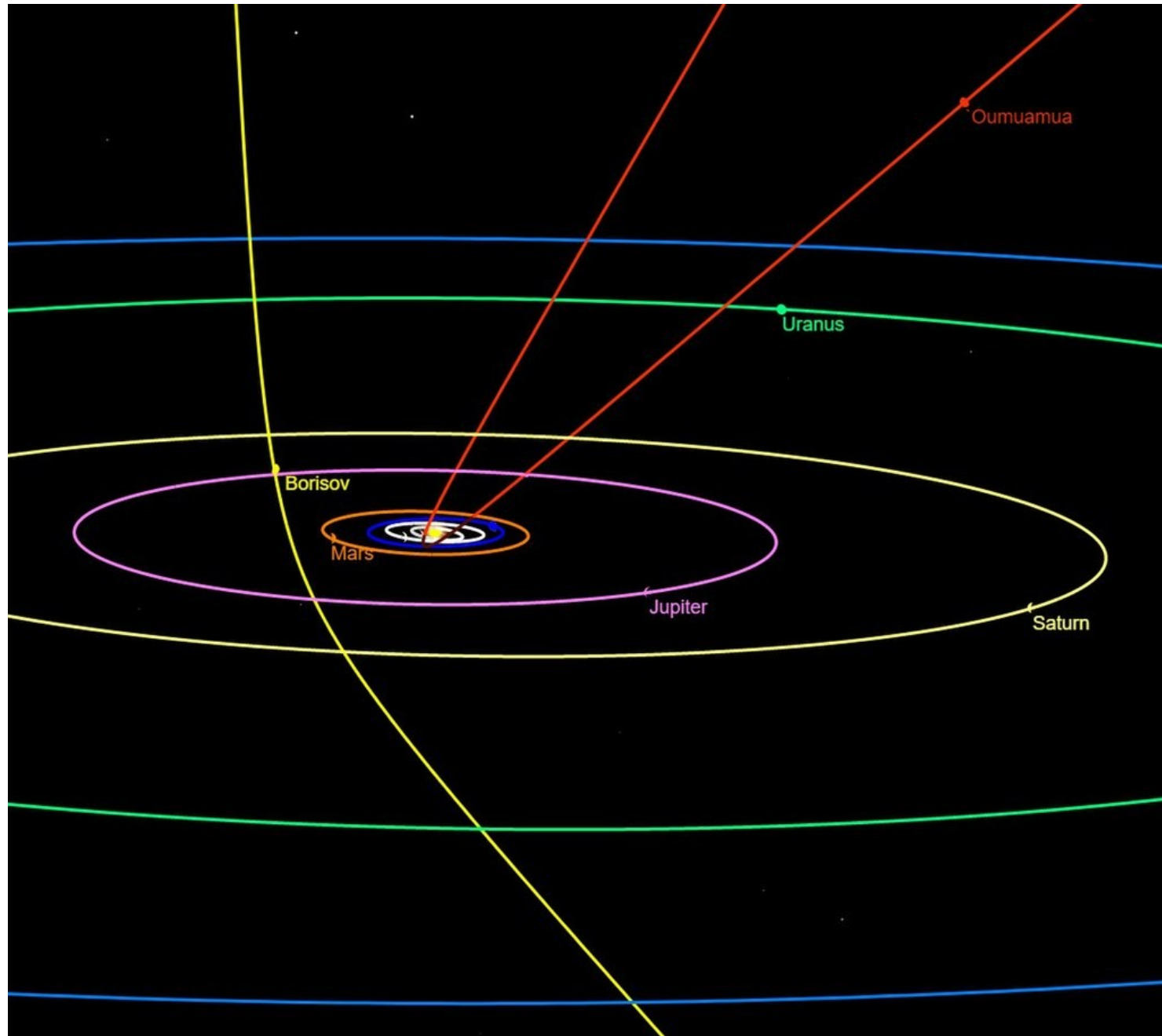


NASA's Hubble Space Telescope has given astronomers their best look yet at an interstellar visitor – comet 2I/Borisov – whose speed and trajectory indicate it has come from beyond our solar system. Hubble photographed the comet on October 12, 2019.

Órbitas dos objetos interestelares Borisov ($e = 3,4$) e Oumuamua

2I/Borisov foi descoberto pelo astrônomo amador Gennadiy Borisov (Crimeia) com um telescópio de 65 cm em 30/8/2019.

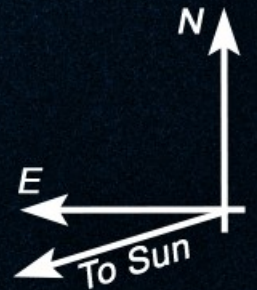
Periélio 8/12/2019
Perto da Terra 28/12/2019

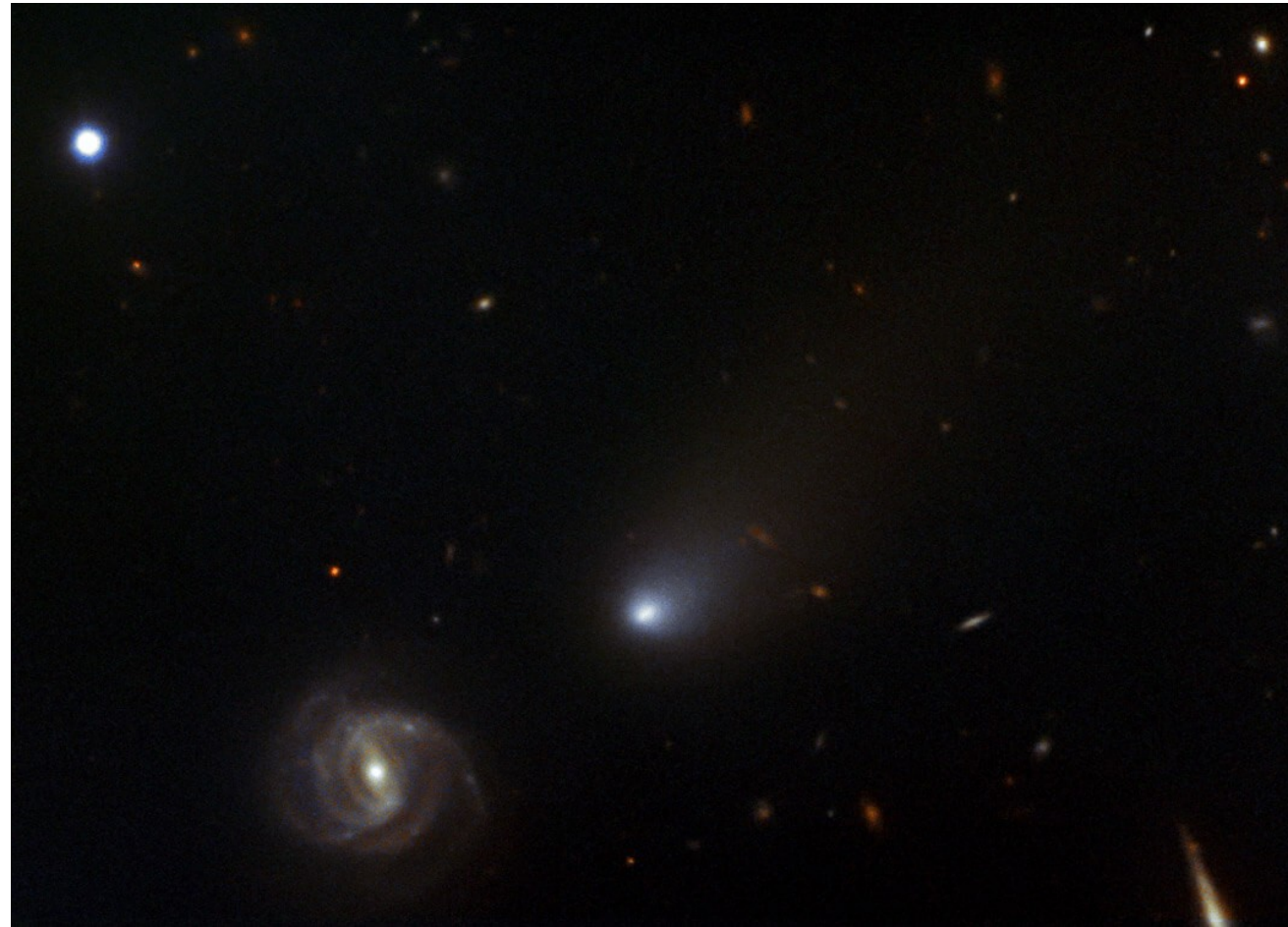


Cometa
interestelar
Borisov
observado
perto do
periélio
(8/12/2019)
pelo Hubble,
mostrando
coma
($\sim 10^4$ km) ao
redor do
núcleo
(tamanho \leq
0,4 km)

C/2019 Q4 (Borisov)
HST WFC3/UVIS F350LP
Dec. 9, 2019

9,000mi
14,500km 10''





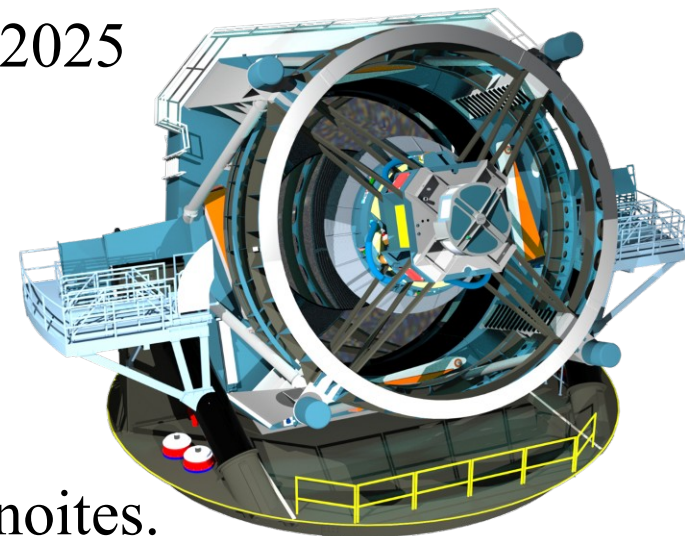
Gemini North telescope image of the comet C/2019 Q4 (Comet Borisov) obtained on the night of November 11-12, 2019.

Vera Rubin (telescópio LSST), previsão 1/2025

8,4 metros de diâmetro

Câmera de 3,2 gigapixel

Localizado em Cerro Pachón (Chile)



Observar todo o céu visível a cada poucas noites.

LSST deve descobrir pelo menos 1 objeto interestelar por ano!

